

Vysoká škola: **strojní a textilní Liberec**

Katedra: **materiálu a tváření**

Fakulta: **strojní**

Školní rok: **1966/67**

## DIPLOMNÍ ÚKOL

pro **Jaroslava Obsta**

odbor **strojírenská technologie**

Protože jste splnil požadavky učebního plánu, zadává Vám vedoucí katedry ve smyslu směrnic ministerstva školství a kultury o státních závěrečných zkouškách tento diplomní úkol:

Název tématu: **Stanovte vliv rychlosti nástroje na rozdělení deformace  
na vzorku a modelu rotačního hlubéckého výtažku**

Pokyny pro vypracování:

1. Zákon podobnosti a jeho aplikace při tváření plechu
2. Stanovení podmínek pro modelové zkoušky
3. Vlastnosti plechu pro vzorek a model
4. Vyhodnocení deformace vzorku a modelu
5. Zhodnocení vlivu rychlosti nástroje a přetvárné rychlosti

**VYSOKÁ ŠKOLA STROJNÍ A TEXTILNÍ  
Ústřední knihovna  
LIBEREC 1, STUDENTSKÁ 5**

Autorské právo se řídí směrnicemi MŠK pro státné  
závěrečné zkoušky č. j. 31 727/62-III/2 ze dne  
13. prosince 1962-Věstník MŠK XVIII, sedl. 21 ze dne  
31. 3. 1962 § 19 autorského zákona č. 115/53 Sb.

*✓ 45/62 S*

Rozsah grafických laboratorních prací:

Rozsah průvodní zprávy:

40 - 50 stran

Seznam odborné literatury:

1. Siebel-Beisswänger: Hluboké tažení SNTL Praha 1958
2. Oehler: Plechy a jejich zkoušení, SNTL Praha 1958
3. Drastík: Rozbory modelových zkoušek plastického tečení kovů ČSAV 1964
4. Pankuin: Der Einfluss der Ziehgeschwindigkeit auf das Tiefziehen in Anschlag. Blech 6-1959, č. 9 str. 391-396
5. Zajcev: Zakon mechanického podobija pri deformacií rôznych metallov.  
Zavodskaja laboratoriya tom XVI 1950
6. Šechtér: Maximalnaja skorost deformacii pri glubokoj výtažke listovych metallov  
Kuzněcno-štampovočnoje proizvodstvo č. 12. 1962

Vedoucí diplomní práce:

Ing. Jaroslav Krištof

Konsultanti:

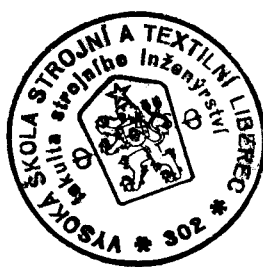
Ing. Viktor Mikeš

Datum zahájení diplomní práce:

2.10.1967

Datum odevzdání diplomní práce:

30.10.1967



Doc. Ing. Miroslav Kořínek CSc

Vedoucí katedry

Prof. Ing. Cyril Höschl

Děkan

v

Liberci

dne

30. srpna

196 7

### 1. Úvod.

Tváření kovů nabývá ve srovnání s obráběním v hromadné výrobě stále většího významu. Hluboké tažení zaujímá mezi tvářecími výrobními způsoby zvláštní postavení, protože je základním druhem zpracování plechů pro rozmanité spotřební předměty. S rozvojem automobilového a leteckého průmyslu nabývá hluboké tažení stále většího významu. Cílem tváření je vyrobit při nejmenších strátách materiálu a s nejmenším počtem operací výtažky v konečném tvaru, aby je bylo možno zamontovat bez jakékoliv další dodatečné úpravy.

Tvarování hlubokým tažením je tak mnohostranné, že bude třeba dlouholetého soustavného výzkumu, aby se vysvětlily mnohé problémy. Dosavadní známe teoretické práce se zabývají jen souměrnými rotačními, popřípadě čtvercovými výtažky. Většinou jsme tedy odkázáni na výzkum vztahů pomocí pokusů. Při navrhování vhodné technologie se vychází většinou ze zkušeností předchozí výroby. Protože dodatečné úpravy nástrojů jsou pracné a velmi drahé, je snaha navrženou technologii předem ověřit.

Vhodnost ověření navržené technologie je nejlépe patrná s uvedeného ekonomického rozboru [7] Náklady na výrobu 7.nástrojů pro vnější kloubový plech polonápravy vozů Škoda 1000 MB:

celková hodnota nástrojů 53 000 Kčs

náklady na vyzkoušení 13 000 Kčs

Náklady na vyzkoušení představují tedy 24,5 % celkových pořizovacích nákladů.

Připočteme-li k tomu jeden zrušený nástroj z důvodů neověření technologie, pak se zvýší náklady na zkoušení o dalších 13,5 %.

Jako další příklad uvedu velice obtížný výlisek rámu dveří, jehož lisovatelnost byla ověřena nástrojem z plastické hmoty.

sada sedmi nástrojů představuje 1 580000Kčs  
ověřovací nástroj z plastické hmoty  
měl pořizovací cenu 115 000 Kčs

To představuje 7,3 % z celkové hodnoty všech nástrojů. Náklady na vyzkoušení byly potom pouhých 30 000 Kčs, to je necelá 2% z celkových pořizovacích nákladů.

Použití modelového zařízení se náklady na ověření ještě podstatně sníží. Podle dostupných pramenů [8] činí náklady na modelový nástroj méně nežli 15 % pořizovací ceny skutečného nástroje.

V případě ověřování rámu dveří [9], kdy pořizovací náklady takového nástroje činí 249 000 Kčs by modelový nástroj stál 16 000 Kčs Teprve v posledních letech se objevil způsob ověřování navržené technologie pomocí malého modelu.

Problematika modelových nástrojů nebyla dosud dostatečně zpracována. Autoři dostupné, převážně zahraniční literatury se zabývají problemem převážně teoreticky. U nás se modelovými zkouškami zabýval F. Drastík [3]. Ten však prováděl modelové zkoušky při objemovém tváření. Modelové zkoušky při hlubokém tažení prováděl v rámci diplomové práce I. Bureš [9] a B. Drbohlav [7]. Na tyto práce jsem částečně navázal.

VŠST LIBEREC FAKULTA STROJNÍ	Vliv rychlosti nástroje na rozdělení deformace na vzorku a modelu rotačního hlubokého výtažku.	DP-ST 586/67
		30. října 1967
		Obst Jaroslav 3.

Při praktických zkouškách jsem byl omezen dostupným zařízením, takže jsem pro porovnání volil vzorek i model jednoduchého rotačního tvaru.

## 2. Způsoby ověřování výrobní technologie.

Praktické zkušenosti technologa a konstruktéra nástrojů většinou určují technologii výroby, ovšem v některých případech obtížných nepředvídatelných výlisků nelze již na tyto zkušenosti spoléhat. Je nutno si lisovatelnost některou z dostupných metod ověřit. Volba metody závisí na počtu výlisků, na kapacitě a výrobních možnostech nářadovny.

### 2. 1. Úpravy kovového nástroje.

Zpravidla jde o první tahový nástroj, který se v předstihu nakreslí a vyrobí. Nakreslení kovového nástroje je výsledkem konstruktérských zkušeností. Po vyrobení je nástroj sličován a začíná se lisovat. Při praskání a vlnění výlisků je první snahou užít lepšího plechu bez ohledu na výkonného předpis. Když jsou materiálové možnosti plechu vyčerpány, musí se přistoupit k úpravě nástroje. Jakákoliv úprava kovového nástroje je velmi pracná a proté drahá. Nemá-li nářadovna zkušební lis, musí se úpravy nástroje provádět v provozu lisovny a tím se snižuje jejich kapacita. Této metody je možno použít pouze v případech, kdy se jedná o menší množství výlisků [9].

## 2. 2. Ověřovací nástroj z plastických hmot.

Použití nástroje z plastičkých hmot na ověření lisovatelnosti má tyto výhody:

- a) snadná a rychlá výroba nástroje
- b) prováděné úpravy jsou méně pracné než u nástroje kovového
- c) konečného nástroje je možno užít pro náběh výroby do doby, než bude vyroben definitivní kovový nástroj.

Pro výrobu nástroje z plastických hmot se použije kopírovací makety, na které se ustaví lisovací rovina. Do plechového rámu přiloženého na maketu se odleje vrstva kvalitní pryskyřice obvykle Epoxy 1 200 s plnidlem a tužidlem. Na zvláště namáhaná místa, zejména tažné radiusey je možno umístit kovové vložky, které se lehce k maketě přilepí. Rám je uzavřen kotevní nebo základovou deskou. Tvar protikusů se dejme již z odlitého dílu např. olověnou folií, která plní funkci výlisku. Při odlevání je užito dělícího materiálu, aby nenaštalo přilnutí ke kopírovací maketě nebo olověné folii. Jedna z nejpodstatnějších metod je ta, že vlastní složité tvary nástroje jsou vyrobeny bez jakéhokoliv slícování, protože toto je jedna z nejpracnějších a řemeslně nejnáročnějších prací na výrobě celého nástroje. To u nástrojů z plastické hmoty odpadá.

Úpravy na nástroji se provádějí dodatečným přilitím, je to práce, která nevyžaduje nástrojařské zručnosti. Tyto nástroje mají nižší tvrzenlivost než nástroje kovové, ale pro ověření dostačující.

[9].

2. 3. Ověřovací nástroje zmenšeném měřítku  
(modelové zkoušky).

Z použití předešlé metody plyne mnoho výhod, ale nástroj z plastické hmoty není použitelný všeobecně. Použitelnost je omezena měrným tlakem, jehož maximální hranice činí asi  $10 \text{ kp/mm}^2$  [14]. To znamená, že výtažky ze silnějších plechů se již musí ověřovat jinou metodou. Vhodnou metodou pro tyto výlisky je ověřování ve zmenšeném měřítku na kovových modelových nástrojích.

2. 4. Modelové zkoušky.

Správná modelová zkouška v malém měřítku zmenšuje riziko práce, které vzniká při lisování velikých kusů bez předchozího vyzkoušení. Předností této metody je, že na základě teorie podobnosti lze přenést výsledky jednoho pokusu na celou řadu jevů podobných. Výhodou modelů je léce, menší váha, snazší manipulace a kratší čas potřebný k jeho zhotovení. Modelové zkoušky musí být ovšem konány zasprávných teoretických předpokladů. Proto musí sestrojení modelů předcházet stanovení podmínek podobnosti, při jejichž splnění probíhají studované jevy u vzorku i modelu podobně. Základní zákon, který musí být respektován je zákon podobnosti. [3].

3. Zákon podobnosti.

Pro plastickou deformaci dvou těles je možno formulovat zákon podobnosti takto:  
při deformaci dvou těles různých rozměrů jsou si

měrné tlaky při kluzu (t.j. v okamžiku vyvolání plastické deformace) rovny, jeli stejná velikost největší hlavní deformace a jsou-li zachovány podmínky geometrické, mechanické a fyzikální. [15]

3. 1. Definice zákona podobnosti podle Šofmana [16].

a) Geometricky podobná jsou si taková dvě tělesa, u kterých poměr ploch je roven čtverci poměru délkových rozměrů.

b) Mechanická podobnost při deformování geometricky podobných těles je tam, kde je stálý poměr odpovídajících sil ke čtverci délkových rozměrů a jejichž vnější tlaky jsou stejné.

Podmínky mechanické podobnosti v matematickém vyjádření :

$$\frac{P}{a} = \text{idem} \quad P - \text{síla}$$

$$p - \text{měrný tlak}$$

$$a - \text{jeden ze srovantelných rozměrů}$$

$$p = \text{idem}$$

c) Fyzikální podobnost těles při plastické deformaci předpokládá se splnění těchto podmínek :

c1) porovnávaná délka musí být stejnorodá ve svém chemickém složení a struktuře

c2) stejná rychlosť deformace

c3) stejná teplota deformace

c4) v porovnávaných tělesech musí být napětí rozložena podobně.

Gubkin poukazuje na to, že splnění této podmínky vyžaduje :

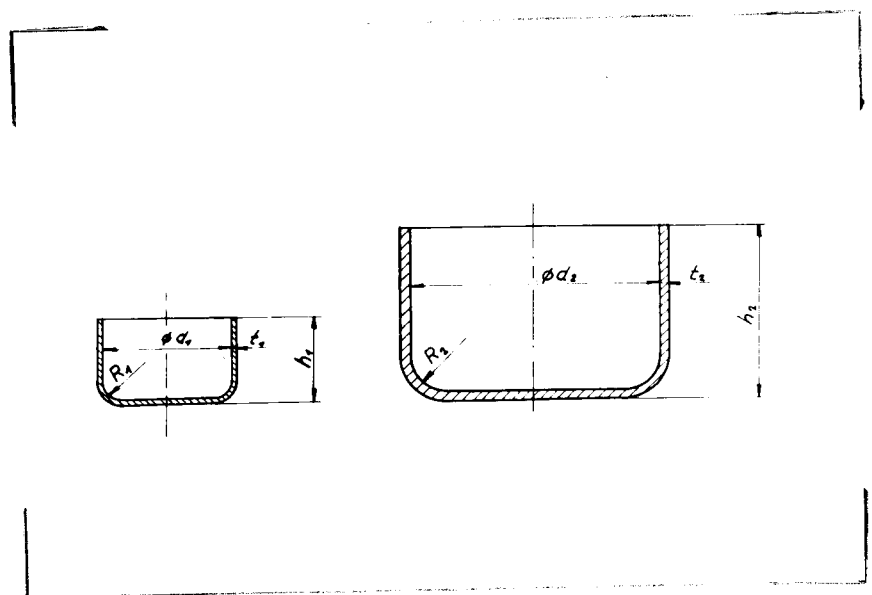
1) stejnou velikost koeficientu tření na dotykových plochách

2) stejnou velikost a smysl hlavního napětí  
a stejný směr hlavních os v odpovídajících  
bodech porovnávaných těles.

### 3.2. Definice zákona podobnosti podle O.Sachse [17].

Podle autora je nejzákladnější zákon, jenž řídí veškeré procesy spojené s tvářením, je zákon geometrické podobnosti. Tento zákon aplikovaný na zpracování plechu, může být vyjádřen těmito skutečnostmi.

1) Výlisky jež jsou si geometricky podobny v každém ohledu (t.j. každý rozměr, tloušťka, šířka délka jednoho výlisku je násobkem rozměru jiného výlisku), mohou být zhodnocovány do geometricky podobných součástí v geometricky podobných nástrojích.



obr. 1

$$\frac{d_1}{d_2} = \frac{h_1}{h_2} = \frac{t_1}{t_2} = \frac{R_1}{R_2}$$

- 2) Jednotková pnutí na příslušných místech takovýchto geometricky podobných součástí jsou shodná.
- 3) Síly potřebné pro tváření geometricky podobných součástí jsou úměrné čtverci tloušťky, nebo čtverci každého jiného odpovídajícího rozměru.
- 4) Práce spotřebovaná na výrobu geometricky podobných součástí je úměrná trojmocnině tloušťky nebo trojmocnině jiného jejich odpovídajícího rozměru.

Upřesnění použití zákona geometrické podobnosti podle autora. Je zapotřebí, aby vlastnosti plechu nebo pásu byly neodvislé od tloušťky materiálu - tato podmínka však není ve skutečnosti splněna, proto je třeba tyto změny brát v úvahu. V mnoha případech má vliv tloušťky pouze malý význam a může být zanedbán alespoň pro určitou řadu tlouštek.

#### 4. Stanovení podmínek pro modelové zkoušky.

4.1. Určení tvaru a rozměru modelu a vzorku. Při stanovení rozměru modelu a vzorku musíme vyházet z geometrické podobnosti.

Obecně lze definovat útvar geometricky podobný danému útvaru tím, že jej lze umístit vně nebo uvnitř daného útvaru tak, aby stejnou deformací jednoho oba útvary splynuly v jediný [18].

Zákon podobnosti u hlubokého tažení lze charakterizovat konstantním poměrem těchto parametrů [16]:

$$m = \frac{d}{D}; \quad \frac{D}{t_o}; \quad \frac{r_o}{t_o}; \quad \frac{r_o}{t_o}; \quad \frac{z}{t_o}$$

D - průměr přístřihu (rondelu)  
d - průměr kalíšku po prvním tahu  
t - tloušťka plechu  
r - poloměr tažné hrany tažnice  
r - poloměr tažné hrany tažníku  
z - vůle  
 $m$  - součinitel tažení

L.A.Šofman nevyžaduje přesné dodržení  $\frac{D}{t}$ , použil totiž zákona podobnosti k ověření vlastních navržených rovnic pro výpočet tažné síly a tlaku přidržovače [16]. V těchto rovnicích sice poměr  $\frac{D}{t}$  výsledek neovlivní, ale při provádění modelových zkoušek nelze tuto odchylku zanedbat.

V.P.Romanovskij [19] upozorňuje právě na dodržení poměru  $\frac{D}{t}$ . Při výpočtu součinitele tažení  $m$  upozorňuje na zákon podobnosti při lisování za studena. Říká, že hlavním požadavkem zákona podobnosti je nutná geometrická podobnost vzorku a modelu. Součinitel tažení je mnohem více závislý na poměru  $\frac{D}{t}$  (= poměrná tloušťka materiálu) než na mechanických vlastnostech materiálu. Jakékoli stanovení součinitelů tažení jen podle druhu materiálu je nesprávné a proto musí být součinitelé tažení doporučovány pro praktické použití roztríděny podle poměrné tloušťky materiálu, která je charakteristická pro geometrickou podobnost modelu a vzorku.

Toto potvrzuje i skutečnost, že drobné válcové výtažky se táhnou bez potíží až do součinitele tažení  $m = 0,45$ , kdežto velké součásti lze obtížně tahnout z tenkého materiálu též značky se součinitelem  $m = 0,65 - 0,60$ . Tenčí materiál má větší sklon ke tvoření vln a proto musí být větší přidržovací síla a může dojít až k utržení dna výtažku [9].

Z výše uvedených názorů je nutno dát za pravdu V.P.Romanovskému, protože jím ověřené skutečnosti jsou všeobecně známy a praxí dokonale potvrzeny.

#### 4.2. Vliv rychlosti na průběh tažení.

O.Sachs uvádí, že rozdílná rychlosť deformace vzorku a modelu neovlivní výsledek zkoušky [17]. Naopak S.I.Gubkin ve své formulaci zákona podobnosti [16] vyžaduje jak u vzorku tak i u modelu stejnou rychlosť deformace.

K názoru O.Sachse se přiklání také L.A.Šofman. Říká, že vliv rychlosti na průběh hlubokého tažení zůstává nedostatečně prozkoumán. Zůstává nejasné, jeli současná rychlosť tažení 15 - 20 m/min. omezená konstrukcí mechanických lisů, nebo jeli rychlosť omezená technologickými zvláštnostmi hlubokého tažení.

Autor prováděl zkoušky od rychlosťi 7 m/min., tu postupně zvýšil na 15 m/min. a 30 m/min. Podle autora zvýšení rychlosťi nemělo vliv na průběh lisování, pouze došlo ke zvýšení síly asi o 20 %. I při rychlosťi 130 m/min. byly výsledky provedených zkoušek analogické.

Avšak výsledky z praxe autorovy zkoušky plně ne-potvrzují. Je známo, že složité výtažky, které při tažení na klikovém lisu praskají, lze často s úspěchem táhnout na pomaluběžném hydraulickém lisu. Se zvyšováním rychlosťi deformace se zároveň zvyšuje odpor kovu proti plastické deformači (proti kluzu na kluzných plochách krystalů) a odpor kovu proti porušení soudržnosti. Odpor proti deformaci věk vzniká rychleji, což způsobuje, že mezi průtažností vzniká rychleji než pevnost. Při velkých rychlosťech deformace se stává i tvárný kov křehkým, t.j. prakticky neschopným deformace [20].

Toto tvrzení však opět nepotvrzuje tváření výbuchem, to je tváření velkou energií [21].

Ale při porovnání rychlosti tváření na hydraulickém lisu (1 - 10 mm/sec.) a rychlosť mechanického lisu (20 - 100 mm/sec.) s rychlosťí při tváření výbuchem (50 - 400 m/sec.) vidíme rozdíl řádu až několika set tisíc. Tento kvantitativní skok na jedné straně se také projeví kvalitativním skokem na straně druhé, to je ve tvářeném materiálu. V praxi se ukázalo, že tvářený materiál při velkých rychlostech zatěžování, které jsou spojeny s použitím velké energie se chová jinak, než při tváření na běžných lisech.

S uvedeného rozboru je zřejmé, že není možné vliv rychlosti při modelových zkouškách zanedbat, proto je nutno provádět modelové zkoušky při stejné rychlosti deformace modelu a vzorku.

#### 4. 2. 1. Rychlosť deformace.

Rychlosť deformace (přetvárná rychlosť) je změna deformace za jednotku času a musíme ji odlišovat od rychlosťi nástroje. Lze ji určit ve všech třech směrech hlavních deformací, ale pro zjednodušení se uvažuje rychlosť největší hlavní deformace. [22 ; 16 ; 7].

a) rychlosť smluvní poměrné deformace -  $w_p$

$$w_p = \frac{d\epsilon}{dt} = \frac{d}{dt} \cdot \left( \frac{l-1}{l_0} \right) = \frac{1}{l_0} \cdot \frac{dl}{dt} \quad \left[ \frac{1}{sec} \right]$$

b) střední rychlosť poměrné deformace -  $\bar{w}_p$

$$\bar{w}_p = \frac{\epsilon}{t} = \frac{l-1}{l_0} \cdot \frac{1}{t} \quad \left[ \frac{1}{sec} \right]$$

c) rychlosť skutečné deformace -  $w_s$

$$w_s = \frac{dY}{dt} = \frac{1}{l} \cdot \frac{dl}{dt} = \frac{\lg(l+\epsilon)}{dt}$$

d) střední rychlosť skutečné deformace -  $\bar{w}_s$

$$w = \bar{w}_s = \frac{\gamma}{t} = \frac{\lg(1+\epsilon)}{t}$$

pro malé deformace platí:

$$\bar{w}_s = \bar{w}_p$$

vztah rychlosti nástroje - v k rychlosti deformace -  $w_p$

$$v = \frac{dl}{dt}$$

pro smluvní rychlosť deformace -

$$w_p = \frac{1}{l_0} \cdot \frac{dl}{dt} = \frac{v}{l_0} \Rightarrow v = l_0 \cdot w_p$$

pro skutečnou rychlosť deformace -

$$w_s = \frac{w}{1+\epsilon} = \frac{v}{l_0 \cdot (1+\epsilon)} \Rightarrow v = l_0 \cdot w_s (1+\epsilon)$$

Při rovnoměrné rychlosti nástroje - v se rychlosť deformace zvětšuje při stlačování a zmenšuje při roztažování.

#### 4. 2. 1. 1. Průběh smluvní deformační rychlosti při tažení kalíšků. [7]

Pro zjednodušení výpočtů předpokládáme tažení s konstantní tloušťkou plechu, poloměr zaoblení tažné hrany tažníků a tažnice roven a konstantní rychlosť nástroje .

$$w_x = \frac{d\epsilon_x}{dt}$$

$$v = \frac{dh}{dt}$$

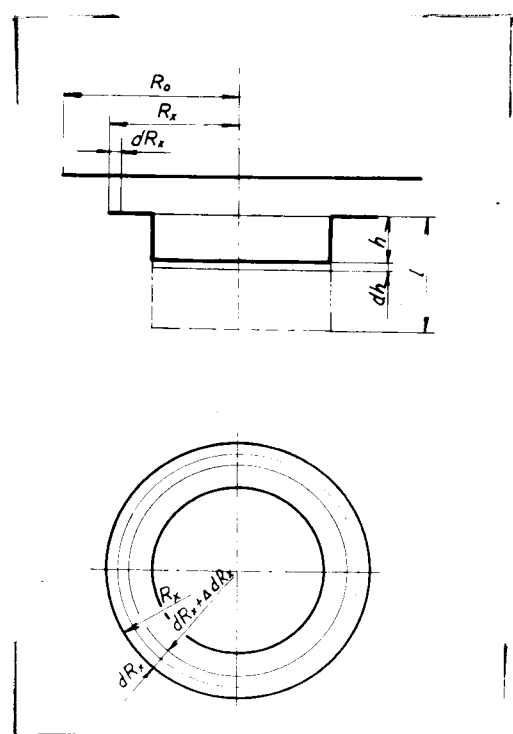
$w_x$  - smluvní deformační rychlosť v obecném bodě

$v$  - rychlosť nástroje

$$\begin{aligned} \int_0^h r dh &= - \int_{R_x}^{R_0} R_x dR_x & r \leq R_x \leq R_0 \\ rh &= -\frac{R_x^2}{2} + \frac{R_0^2}{2} & dR_x = \frac{r dh}{R_x} \\ R_x^2 &= R_0^2 - 2 h \cdot r \\ rdh &= R_x dR_x \end{aligned}$$

30. října 1967

Obst Jaroslav 13.

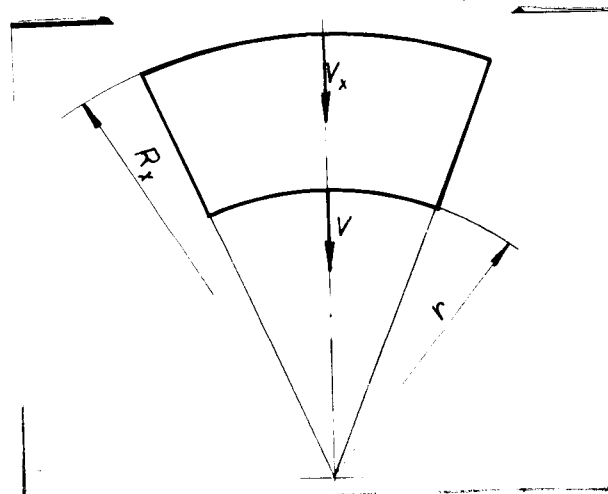


obr. 2

$$\begin{aligned}
 rdh &= (R_x - dR_x) \cdot (dR_x + \Delta dR_x) \\
 rdh &= R_x \cdot dR_x + R_x \cdot \Delta dR_x - (dR_x)^2 \\
 rdh &= rdh + R_x \cdot \Delta dR_x - \left(\frac{r dh}{R_x}\right)^2
 \end{aligned}$$

$$\Delta dR_x = \frac{(rdh)^2}{R_x^2}$$

$$w_x = \frac{d\varphi}{dt} = \frac{\Delta dR_x}{dR_x \cdot dt} = \frac{R_x^3}{rdh \cdot R_x} \cdot \frac{1}{dt} = \frac{rdh}{R_x^2 dt} = \frac{r}{R_x^2} \cdot \frac{1}{dt} \cdot v$$



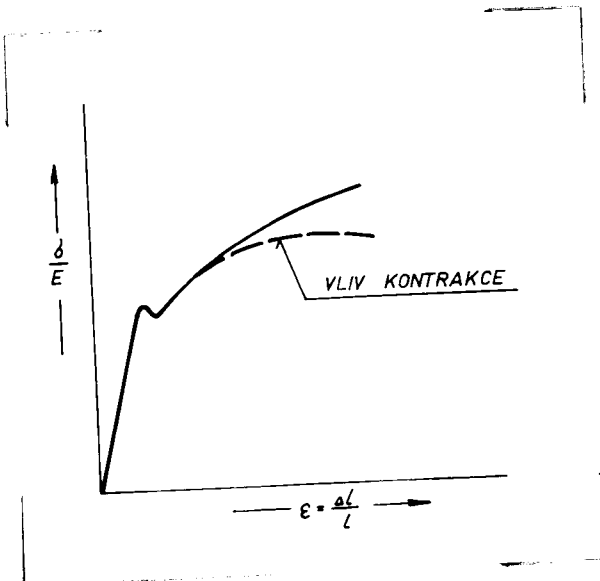
obr. 3

$$\begin{aligned}
 vr &= v_x \cdot R_x \\
 v_x &= v \cdot \frac{r}{R_x} \\
 v &= v_x \cdot \frac{R_x}{r} \\
 w_x &= \frac{r}{R_x^2} \cdot \frac{v_x \cdot R_x}{r} = \\
 &= \frac{v_x}{R_x} \left[ \frac{1}{sec} \right]
 \end{aligned}$$

#### 4. 3. Vlastnosti plechu pro vzorek a model.

L. A. Šofman i O. Sachs vyžadují v podmínkách zákona podobnosti stejný materiál pro model i vzorek. Existuje však také i možnost použití různých materiálů. [18 ; 5].

Podle I. Kožešníka [18] se dva materiály deformují podobně, mají-li jejich bezrozměrné redukované trhací nebo tlakové diagramy (obr. 4) identický průběh a když i jejich Poissonovy konstanty jsou stejné. Jestliže je této podmínce vyhověno, stačí při pokusu na modelu charakterisovat materiál dvěma čísly a to modulem pružnosti  $E$  (nebo mezi kluzu, popř. pevností) a Poissonovou konstantou.



obr. 4

Bezrozměrný redukovaný trhací diagram.

Problémem zůstává však stanovení vhodnosti plechu pro určitý konkrétní výrobek.

### 5. Ověřování lisovatelnosti plechu.

Ověřovací zkoušky lisovatelnosti plechu umožňují hodnot naměřených a registrovaných přístrojem stanovit faktory hlubokotažnosti plechu – zvýšenou plastičnost kovu a zvýšenou schopnost zpevnění při dvouosém stavu napjatosti.

Výsledky těchto prací pomohou zabránit zmetkovitosti v lisovnách, v důsledku podstatně rozdílných mechanických vlastností některých šarží plechu pro tažení a stanovit dolní a optimální hodnoty mechanických vlastností plechu pro lisování. Včasné kontrole jednotlivých dodávek plechů můžeme zabránit nedůvěře k našim hlubokotažným plechům, zvláště karosářským a tím zvýšit požadavky na dodávky materiálu naší výroby. Tato uvedená skutečnost pomůže snižovat výrobní náklady, především v hlavní položce – materiálu.

#### 5. 1. Zkouška hloubení (podle Erichašena).

Jednou z prvních metod na ověřování hlubokotažnosti byla Erichsenova zkouška [1].

Při této zkoušce je do materiálu vtlačována koule o Ø 20 mm. Průtažnice má Ø otvoru 27 mm, tažný poloměr R = 0,75 mm. Zkouší se plech minimální šířky 70 mm a max. tloušťky 2mm. Měřítkem hlubokotažnosti je hloubka prohlubeniny, již se dosáhlo až do výskytu trhliny. Stav napjatosti vzniklý při této zkoušce je ale málodky tázový, jako stav, který vzniký při hlubokotažných operacích.

#### 5. 2. Kalíškovací zkouška AEG.

Tato zkouška podle způsobu AEG [1] jde použít tam, kde ověřujeme hlubokotažnost plechu pro takové

VŠST LIBEREC FAKULTA STROJNÍ	Vliv rychlosti nástroje na rozdělení deformace na vzorku a modelu rotačního hlubokého výtažku.	DP - ST 586/67
		30. října 1967
		Obst Jaroslav 16.

způsoby hlubokého tažení jímž se tvářecí mechanikou podobá. Tažník má Ø 50 mm, tažný radius tažníku a tažnice je v každém případě  $R = 7\text{mm}$ . Tažník a přidržovač je stejný pro všechny tloušťky plechu, otvor tažnice je závislý na tloušťce plechu. Pro tloušťku plechu od 0,2 až do 3,5 mm je v sadě 20 různých tažnic.

Stanovuje se průměr nástřihů, při kterém ještě tažený kalíšek nepraskne. Firma AEG stanovila pro různé materiály průměry přístřihů, jež se musí nechat zpracovat, aniž prasknou. Nevhodou tohoto způsobu je potřeba velkého množství nástrojů a poměrně pracné zhotovení přístřihů různých průměrů.

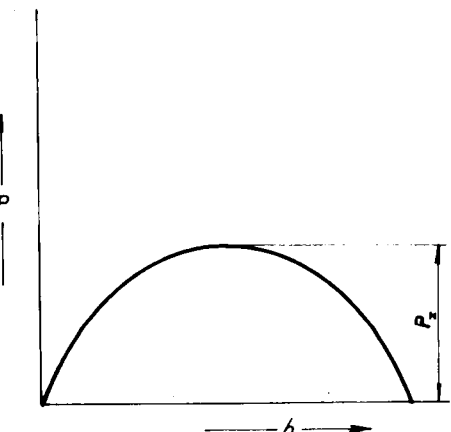
Další druhy kalíškovacích zkoušek jsou podobné zkoušce AEG, pouze s větším nebo menším úspěchem odstraňují její nevýhody.

Kalíškovací zkouška mimo kritéria hlubokotažnosti může ještě posoudit sklon k tvoření kluzových obrazců, cípů, kromě toho lze podle povrchu tažených kalíšků jakož i podle vzhledu trhliny u přetržených nádobek soudit na jakost materiálu.

### 5. 3! Zkouška hlubokotažnosti Tiefziehprüfer TZP

Je to jedna z modernějších ověřovacích metod vyvinutá v NDR výzkumným ústavem VEB Werkstoffprüfmaschinen - Leipzig [10].

Je to přístroj s hydraulickým pohonem, který umožňuje automatický průběh zkušebního pochodu. Je tažen přidržovací kruhový přístřih určitého průměru. Se vzrůstající tažnou hloubkou síla nejprve vzrůstá, hluboký tah není ještě ukončen. Tažná hloubka dále roste, ale tažná síla již klezá k nule (viz obr. 5)



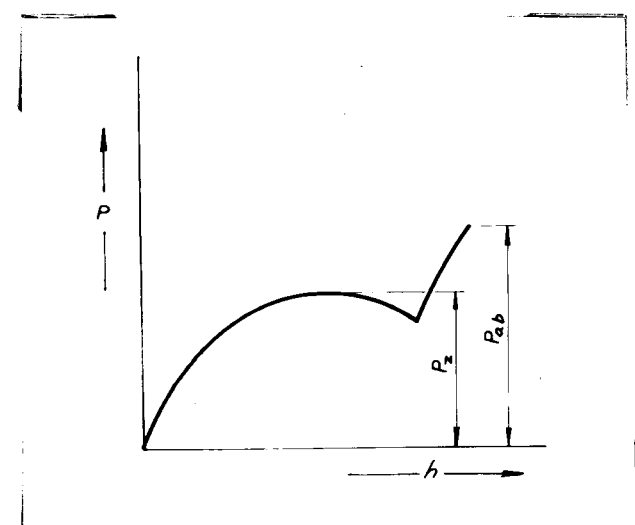
obr. 5

$P$  - tažná síla

$P_z$  - maximální tažná síla

$h$  - zdvih tažníku

Jeli proveden další hluboký tah s tímtéž průměrem tažníků avšak s větším průměrem přistříhů, pak najvětší síla, potřebná k provedení tahu bude rovněž stoupat. Zvětšování průměru přistříhů může pokračovat tak dlouho, až při určité velikosti přistřihu se dno výtažku utrhne. (obr. 6)



obr. 6

$P_{ab}$  = síla potřebná k protržení dna

VŠST LIBEREC FAKULTA STROJNÍ	Vliv rychlosti nástroje na rozdělení deformace na vzorku a modelu rotačního hlubokého výtažku.	DP-ST	586/67
		30. října 1967	
		Obst Jaroslav 18.	

Z průběhu diagramu je vidět, že význam mají pouze hodnoty, největší tažné síly  $P_z$  a síly potřebné k utržení dna  $P_{ab}$ .

Poměr těchto sil v rovnici

$$T = \frac{P_{ab} - P_z}{P_{ab}} \cdot 100\%$$

je definice hlubokotažnosti jakožto poměrného rozdílu obou rozhodujících veličin při hlubokém tahu. Je to nová pokroková a rychlejší metoda technického vyšetření hlubokotažnosti. Přirozeným kriteriem pro vhodnost materiálu a nástroje se stává rozdíl max. síly, kterou je materiál schopen přenést a síly, potřební k tažení. Bude-li rozdíl ve stejné míře jako protažení nebo zúžení při přetržení zbaven nedostatku v podobě absolutní hodnoty, vyjde nám podle rovnice koef. T mající vztah ke kritickému místu přetvoření. Pak můžeme koef. T nazvat přirozenou mírou hlubokotažnosti.

Rozdíl porušující síly  $P_{ab}$  a max. tažné síly  $P_z$  je mírou bezpečnosti s jakou může být proveden hluboký tah.

Vyjma těchto uvedených metod existuje ještě řada dalších teoreticky náročných metod, v provozu ale minimálně používaných.

#### 5. 4. Závěr ověřování lisovatelnosti plechu.

V současné době se hodnocení dodaných plechů provádí pomocí trhací [11 ; 12]; a Erichsenovy zkoušky [13].

Pro přejímku jsou u potom rozhodující tyto hodnoty:

$\delta_{pt}$ ;  $\frac{\delta_{kt}}{\delta_{pt}}$ ;  $\sigma$ ;  $t$  = hloubka vtisku,  
které jsou uváděny v přejímacích podmínkách.

Při hlubokém tažení se vyvíjí velmi komplexní systém namáhání. Proto ani jeden ze známých způsobů laboratorních zkoušek nemůže opatřit dostatek informací o vhodnosti plechů pro kterékoliv lisování. Může pouze určit pořadí vhodnosti plechů k hlubokému tažení.

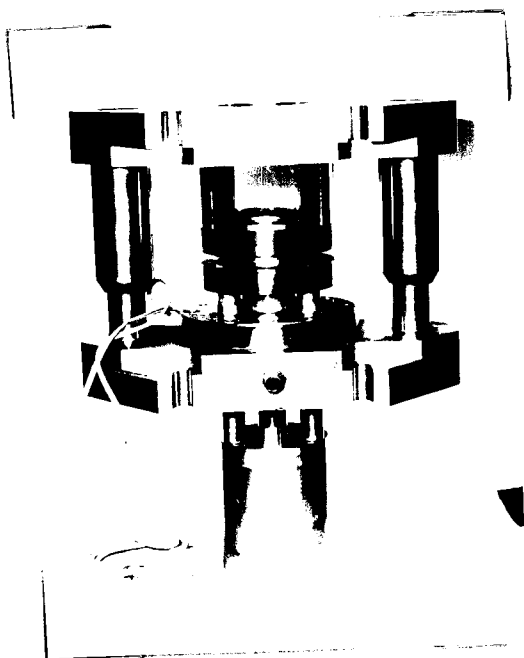
Ověření lisovatelnosti výlisků musí být provedeno jinými metodami.

6. Provozní zkoušky a měření.

6. 1. Popis zkušebního zařízení.

Provozní zkoušky jsem prováděl v dílnách VŠST.

6. 1. 1. Nástroj pro tah skutečného výlisku.  
(obr. 7)



obr. č. 7

Nástroj byl konstruován pro použití na hydraulickém lisu Reinartz. Spodní část nástroje je připevněna upínkami na stole lisu. Horní část nástroje je v beranu uchycená upinacím čepem. Obě části nástroje jsou proti sobě vedeny dvěma válcovými kolíky, které jsou do základové desky nalisovány, v horní části se pohybují v litinových pouzdrech. Tažník nástroje o  $\varnothing 60$  mm je připevněn k základové desce kotvovou deskou. Po něm se posouvá přídřžná deska, která je ovládána hydraulickým přidržovačem. Proti se pohybuje tažnice s mechanickým vyražečem výlisku. Přístřih je do pracovního prostoru vkládán pinzetou a vstředěn zapuštěním do přídřžné desky.

Do hydraulického přidržovače jsem přiváděl tlakový olej o  $p = 8$  ata (tlak takový, aby se již netvořily vlny), při ploše pístu  $F_{ps} = 42,7 \text{ cm}^2$  vyvoduje přidržovací sílu  $Q_s = 342 \text{ kp}$ .

To odpovídá měrnému přidržovacímu tlaku:

$$\text{pro přístřih } \varnothing 108 - p_{1s} = \frac{Q_s = 342}{F_{s1}} = \frac{342}{40,8} = 8,3 \text{ kp/cm}^2$$

$$\text{pro přístřih } \varnothing 104 - p_{2s} = \frac{Q_s = 342}{F_{s2}} = \frac{342}{34,5} = 9,9 \text{ kp/cm}^2$$

kde  $F_s$ ,  $F_{s2}$  je plocha přístřihu.

Stoupení tlaku během lisování je nepatrné.

#### 6. 1. 2. Modelový nástroj pro tah modelového výlisku (obr. 8)

Výkres č. DP - ST 586/67-1

Nástroj byl navržen především s ohledem na dodržení těchto podmínek:

- a) respektování zákona podobnosti
- b) co nejpřesnější napodobení podmínek tažení skutečného výlisku
- c) výrobě co nejjednodušší

30. října 1967

Obst Jaroslav 21.

Nástroj byl konstruován pro použití na lis IE NP 40. Modelový nástroj je proveden ve zmenšeném měřítku 1 : 2 proti skutečnému. Všechny délkové rozměry, průměry, poloměry, tolerance jsou proti skutečnému nástroji o polovinu zmenšeny. Drsnost povrchu byla předepsána přesně stejně. Přístříh je vkládán pinzetou a středěn jednoduchým přípravkem. Přidržovací síla je opět vyvozena hydraulickým přidržovačem a je nutno nastavit tlak oleje  $p = 4,4$  ata, potom je měrný přidržovací tlak stejný jako u skutečného výlisku.

$$p_{1M} = p_{1S} = 8,3 \text{ kp/mm}^2$$

$$p_{2M} = p_{2S} = 9,9 \text{ kp/mm}^2$$

kde:  $p_{1M}$ ,  $p_{2M}$  je měrný přidržovací tlak modelu  
 $p_{1S}$ ,  $p_{2S}$  je měrný přidržovací tlak skutečného výlisku.

$$\text{potom } p = \frac{F_{M1} \cdot p_{1M}}{F_{PM}} = \frac{11,5 \cdot 8,3}{21,85} = 4,4 \text{ kp/cm}^2$$

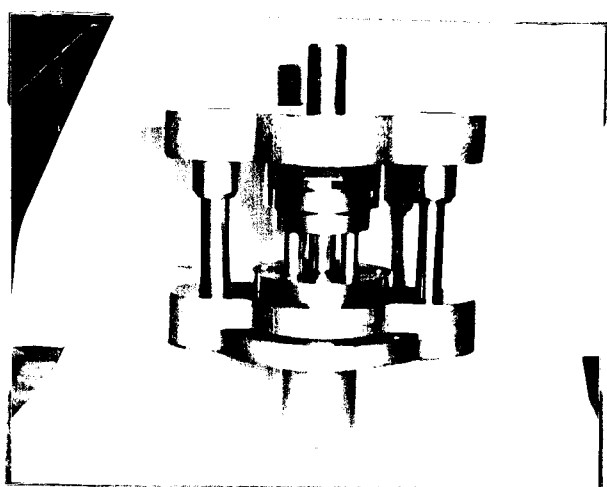
$$p = \frac{F_{M2} \cdot p_{2M}}{F_{PM}} = \frac{9,9 \cdot 9,9}{21,85} = 4,4 \text{ kp/cm}^2$$

$F_{PM}$  = plocha pístu

$F_{M1}$  = plocha přistříhu Ø 54 mm

$F$  = plocha přistříhu Ø 52 mm

stounutí tlaku během lisování je nepatrné.



obr. 8

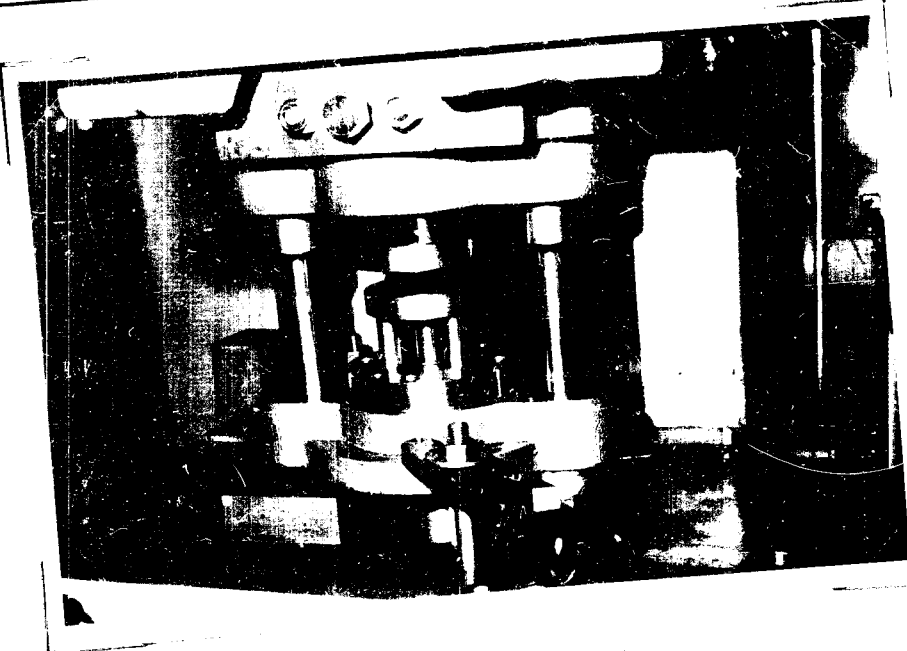
VŠST LIBEREC  
FAKULTA STROJNÍ

Vliv rychlosti nástroje  
na rozdělení deformace na  
vzorku a modelu rotačního  
hlubokého výtažku.

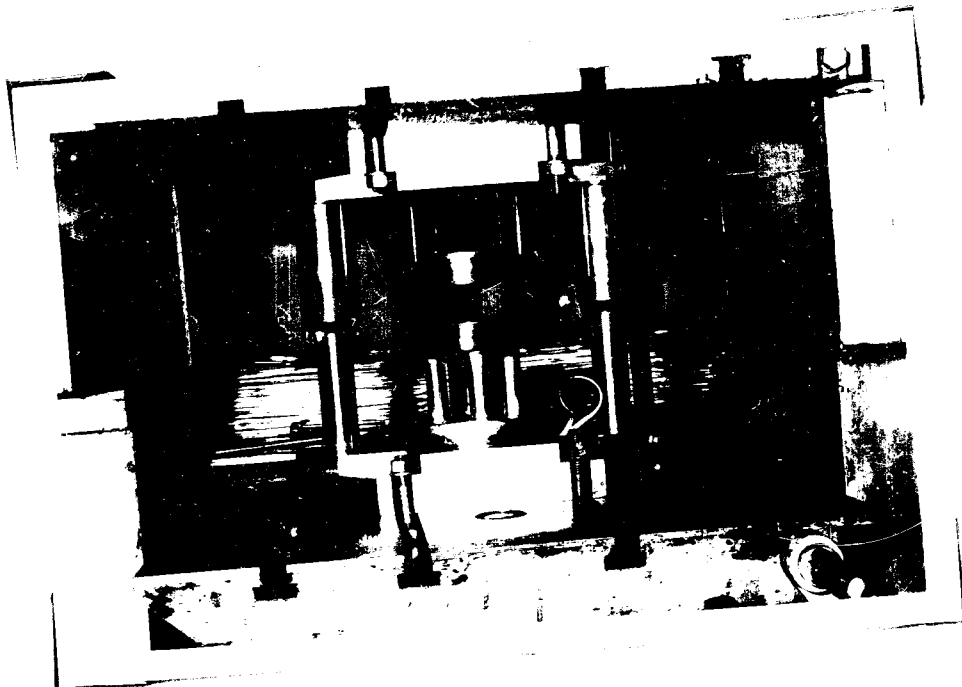
DP - ST 586/67

30. října 1967

Obst Jaroslav 22.



obr. 9 Modelový nástroj upnutý v lise.

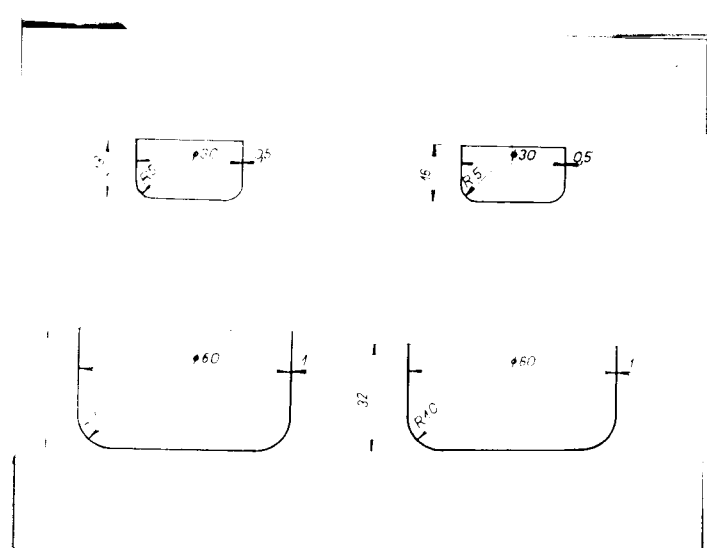


obr.10 Nástroj pro skutečný výlisek  
upnutý v lise.

### 6. 2. Stanovení rozměru vzorku a modelu.

Také rozměry vzorku a modelu jsem volil v měřítku 1 : 2. Rozměry vzorku a modelu jsou uvedeny v následující tabulce. a na obr. 11.

	vzorek		model	
	I.	II.	I.	II.
Ø tažnice [mm]	62,3	62,3	31,15	31,15
Ø tažníku [mm]	60,0	60,0	30,0	30,0
tloušťka plechu [mm]	1	1	0,5	0,5
Ø přistříhu [mm]	108,0	104,0	54,0	52,0
poloměr tažné hrany tažnice [mm]	10	10	5	5
poloměr tažné hrany tažníku [mm]	10	10	5	5
součinitel tažení	0,55	0,57	0,55	0,57
výška [mm]	1,15	1,15	0,575	0,575



obr. 11

Z porovnání rozměrů vzorků a modelů je zřejmé,  
že všechny splňují podmínky geometrické podobnosti.

### 6.3. Určení materiálu vzorku a modelu.

Pro zjištění porovnání deformací vzorku i modelu jsem volil materiál stejný, pouze rozdílné tloušťky.

Vzorek	Model
ll 300.21-1 mm	ll 300.21-0,5 mm

#### 6.3.1. Stručná charakteristika. [24]

Materiál ll 300.21 je materiál dle ČSN 411300 určen k hlubokému tažení s povrchem bez okuji, za studena lehce převálcovaný.

#### 6.3.2. Chemické složení [24]

	C	P	S
ll 300.21	0,09	0,040	0,040

#### 6.3.3. Drsnost povrchu .

Drsnost povrchu jsem měřil na profiloměru Somet. Byly naměřeny tyto hodnoty .

	R ve směru válcování [ $\mu$ ]	R napříč směru válcování [ $\mu$ ]
ll 300.21-1mm	0,11	0,24
ll 300.21-0,5	1,15	1,20

6.3.4. Zkouška hloubením (podle Erichse) [13]

Byly naměřeny tyto hodnoty :

	hloubka vtisku [mm]
11 300.21-1mm	10,8
11 300.21-0,5mm	8,7

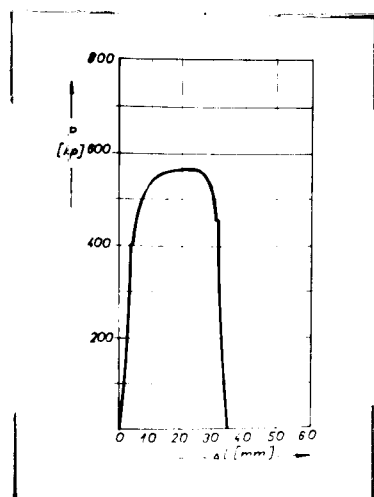
6.3.5. Zkouška tahem [11, 12]

Vzorky pro zkoušky tahem jsem odebral pro každý materiál ve směru válcování (značeno P) a napříč směru válcování (značeno N).

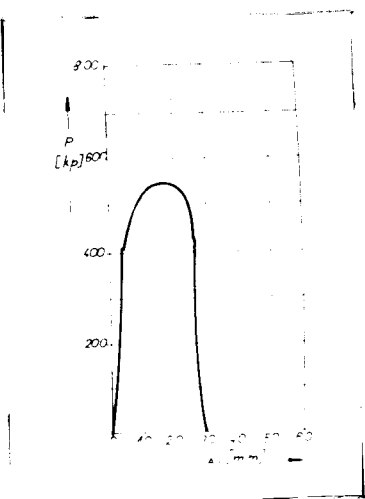
Výsledky trhacích zkoušek :

Materiál	směr odebrání vzorku	$\sigma_{pt}$ [kp/mm <sup>2</sup> ]	$\sigma_{kt}$ [kp/mm <sup>2</sup> ]	$\delta$ [%]
11 300.21 1 mm	P	31,3	20,7	46,2
	N	30,35	23,9	38,0
11 300.21 0,5 mm	P	33,35	24,9	43,5
	N	32,1	23,8	42,1

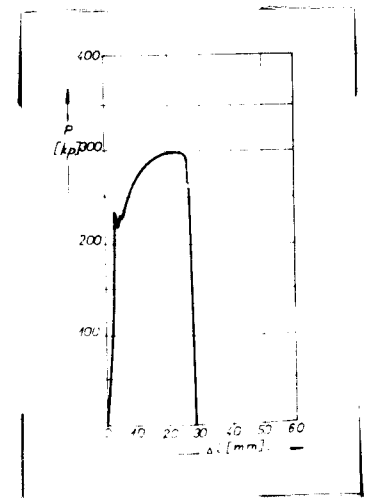
Trhací diagramy :



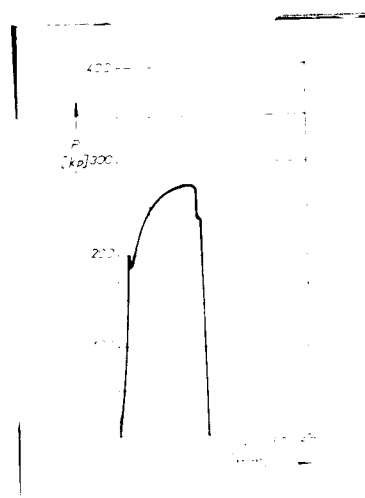
11 300.21-1mm  
směr odebřání vzorku P obr. 12



obr. 13 11 300.21 - 1 mm  
směr odebrání vzorku N



obr. 14 11 300.21 - 0,5 mm  
směr odebrání vzorku P



obr. 15 11 300.21 - 0,5 mm  
směr odebrání vzorku N

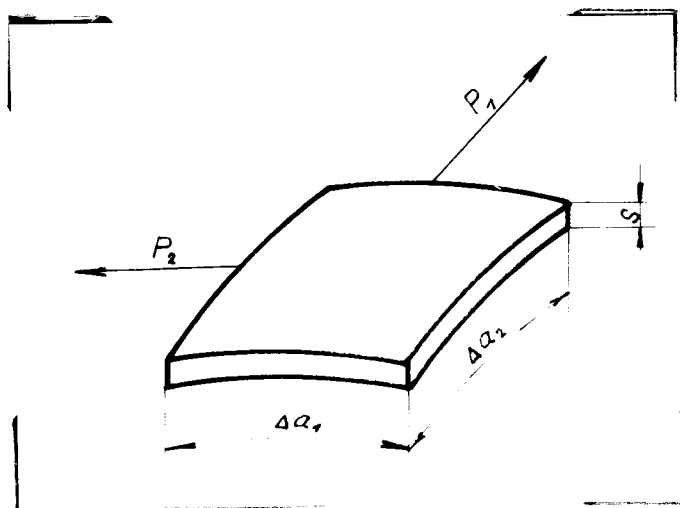
Z uvedené tabulkky a trhacích diagramů je vidět,  
že zjištěné hodnoty téměř nezávisí na směru  
válcování.

#### 6.4. Měření deformace vzorku a modelu.

##### 6.4.1. Zjišťování stupně deformace pomocí deformačních sítí.

Při řešení předpokládám quasi - isotropní materiál a napětí ve směru tloušťky plechu rovné nule [23]

Schematické znázornění elementární plošky výtažku při dvojosé napjatosti je na obrázku 16.



obr. 16

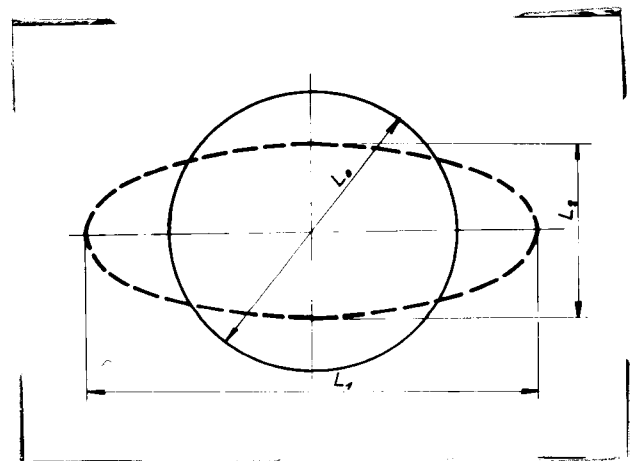
Pro elementární plošku můžeme pro změnu přetvoření ve směrech hlavních napětí psát

$$d\gamma_1 = \frac{d(\Delta a_1)}{\Delta a_1} \quad d\gamma_2 = \frac{d(\Delta a_2)}{\Delta a_2} \quad d\gamma_3 = \frac{ds}{s}$$

ze zákona stálosti objemů

$$d\gamma_1 + d\gamma_2 + d\gamma_3 = 0$$

Element kruhové deformační sítě (obr. 17) se mi po deformaci změní na elipsu.



obr. 17

$L_0$  - průměr kružnice

$L_1$  - délka hlavní osy elipsy

$L_2$  - délka vedlejší osy elipsy

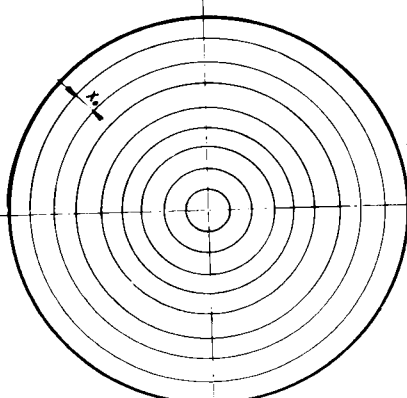
Kruhový element umožňuje zjistit hodnoty deformací ve směru hlavních napětí odečtením délek hlavních os elips a dosazením do těchto výrazů obdržíme logaritmické deformace.

$$\gamma_1 = \lg \frac{L_1}{L_0} \quad \gamma_2 = \lg \frac{L_2}{L_0}$$

K vyhodnocení deformace je možno použít i jiných tvarů deformačních sítí.

#### 6.4.2. Deformační síť soustředných kružnic.

Nevýhodou sítě z kruhových elementů je, že není možné z praktických důvodů rýsovat síť libovolně hustou, protože rýsování menších průměrů kruhových elementů působí značné potíže a stává se nepřesné. Tuto nevýhodu odstraňuje síť ze soustředných kružnic (obr. 18).



obr. 18

Deformační síť soustředných kružnic lze naryšovat  
s libovolnou hustotou.

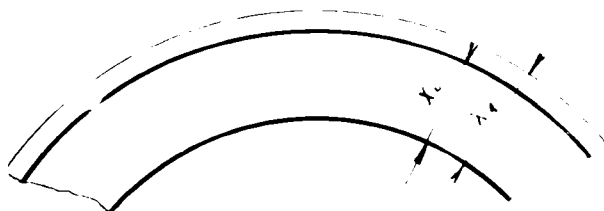
Určení deformací :

$$\gamma_1 = \lg \frac{x_1}{x_0}$$

$$\gamma_2 = \lg \frac{s_1}{s_0}$$

$s_0$  - původní tloušťka materiálu

$s_1$  - tloušťka materiálu po tažení

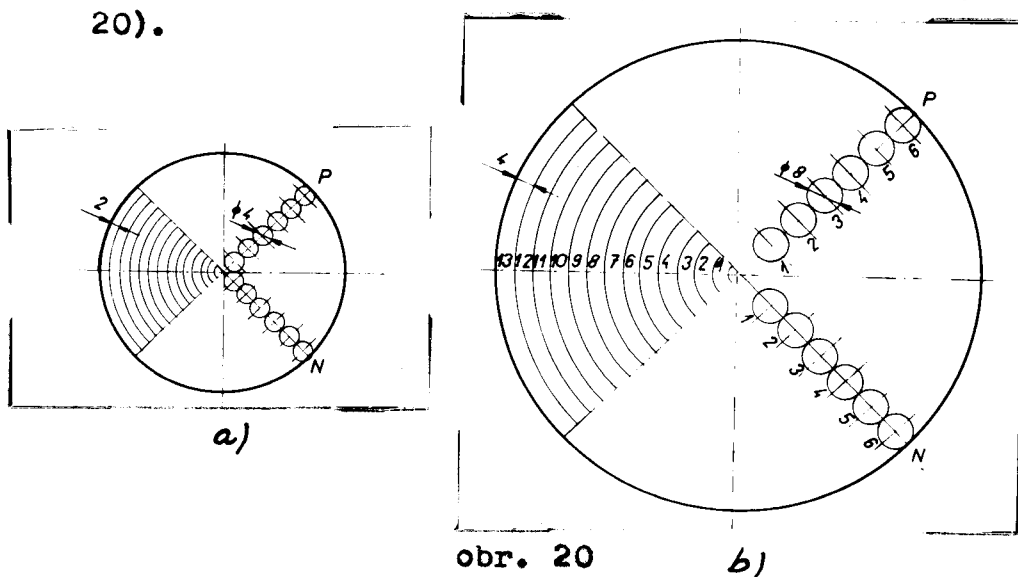


obr. 19

#### 6.4.3. Vlastní provedení deformačních sítí.

K naznačení středů kruhových elementů jsem použil důlčíku, který možná poněkud ovlivní tavení, ale vzniklá nepřesnost bude rozhodně menší než při orýsování kružnic bez důlčíku.

Pro vlastní měření orýsuji kruhové přistříhy tímto způsobem. Protože se jedná o pravidelné výtažky orýsuji jednu čtvrtinu přistřihu ve dvou směrech k sobě kolmých kruhových elementů a druhou čtvrtinu přistřihu soustřednými kružnicemi. (obr. 20).



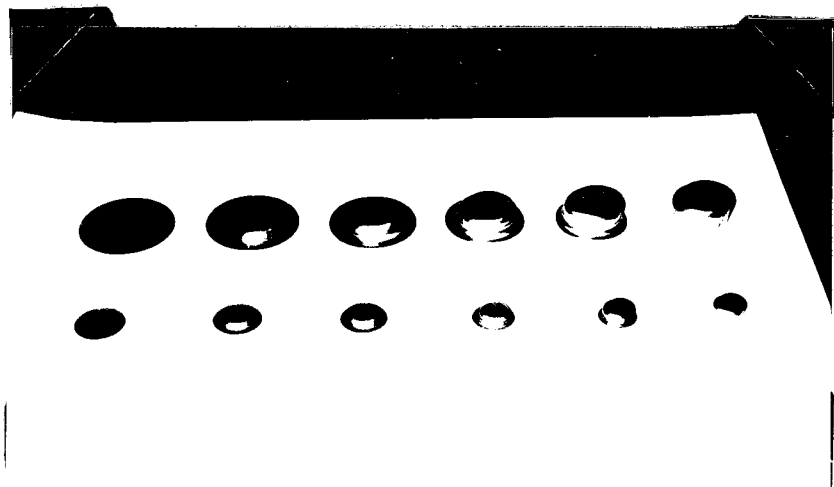
Orýsování jsem provedl na obou stranách přistřihu. Pro porovnání stupně deformace u obou výlisků jsem zvolil průměry elementů 8 mm u skutečného výlisku a 4 mm u modelového výlisku především proto, že menší elementy se jednak obtížně a nepřesně orýsovávaly a rovněž odečítání tak malých rozměrů by bylo nepřesné. Při vyhodnocení jsem proměřoval pouze kruhové elementy.

30. října 1967

Obst Jaroslav 31.

#### 6.5. Průběh lisování.

Protože potřebuji sledovat deformace i v průběhu tažení, lisoval jsem vzorky na hydraulickém lisu postupně do hloubky 20, 40, 60, 80, 100 % tahu, (odpovídá hloubce zapuštění beranu h mm, tohoto označení jsem dále používal) (obr. 21)horní řada. Totéž jsem provedl při lisování na výstředníkovém lise u lisování modelového výtažku (obr. 21 spodní řada).



obr. 21

#### 6.6. Zjištěné hodnoty deformace vzorku a modelu.

Deformace jednotlivých kružnic jsem měřil tímto způsobem. Na přiložený proužek papíru jsem si označil tužkou délky os elips, které jsem potom po narovnání proužku změřil posuvným měřítkem.

Logaritmické deformace jsem určoval ve směru radiálním -  $\gamma_1$ , ve směru tangenciálním -  $\gamma_2$  a ve směru tloušťky materiálu -  $\gamma_3$  podle vztahu uvedených v kapitole 6.4.1.

Vše jsem provedl pro jednotlivé hloubky zapuštění beranu.

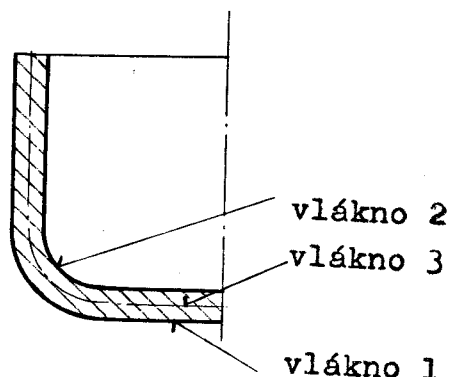
Dále jsem určil intenzitu deformací

$$\epsilon_i = \frac{12}{3} \sqrt{(\gamma_1 - \gamma_2)^2 + (\gamma_2 - \gamma_3)^2 + (\gamma_3 - \gamma_1)^2}$$

Protože se deformace odpovídajících elementů v obou naznačených směrech téměř nelišily, proto k vyhodnocení použiji jen hodnot jednoho z označených směrů. Měření deformačních sítí jsem provedl vně i uvnitř výtažku a určil hodnotu v myšleném středním vlákně, kterou jsem použil pro zjištění dále uvedených závislostí. Celkem jsem porovnával šest elementů, první v pořadí je na dnu výlisku a šestý na přírubě výlisku.

Naměřené a vypočtené hodnoty jsem sestavil do následujících tabulek.

Označení měřených vláken je na obr. 22



- |          |   |                        |
|----------|---|------------------------|
| vlákno 1 | - | vnější vlákno          |
| vlákno 2 | - | vnitřní vlákno         |
| vlákno 3 | - | myšlené střední vlákno |

obr. 22

Tab. č. 1

Vzorek - přístřih Ø 108 mm, m = 0,55

20 % hloubky tahu vzorku

číslo elementu		$L_0$ [mm]	$L_1$ [mm]	$L_2$ [mm]	$\gamma_1$	$\gamma_2$	$\gamma_3$	$E_i$
	vláknko	1	8,1	8,1	8,1	0	0	0
1	2	8,1	8,1	8,1	0	0	0	0
	3	8,1	8,1	8,1	0	0	0	0
	1	8,1	8,1	8,1	0	0	0	0
2	2	8,1	8,1	8,1	0	0	0	0
	3	8,1	8,1	8,1	0	0	0	0
	1	8,1	8,1	8,1	0,030	0	-0,030	
3	2	8,1	8,0	7,9	-0,010	-0,020	0,030	
	3	8,1	8,2	8,0	0,010	-0,010	0	0,01149
	1	8,1	8,6	8,2	0,057	-0,010	-0,047	
4	2	8,1	8,4	7,8	0,039	-0,041	0,002	
	3	8,1	8,5	7,9	0,048	-0,025	-0,023	0,05886
	1	8,1	8,3	7,8	0,020	-0,041	0,021	
5	2	8,1	8,7	7,9	0,068	-0,020	-0,048	
	3	8,1	8,5	7,8	0,044	-0,030	-0,014	0,04444
	1	8,1	8,1	8,1	0	0	0	
6	2	8,1	8,1	8,1	0	0	0	
	3	8,1	8,1	8,1	0	0	0	0
40 % hloubky tahu vzorku								
1	1	8,0	8,0	8,0	0	0	0	
	2	8,0	8,0	8,0	0	0	0	
	3	8,0	8,0	8,0	0	0	0	0
2	1	8,0	8,0	8,0	0	0	0	
	2	8,0	8,0	8,0	0	0	0	
	3	8,0	8,0	8,0	0	0	0	0
3	1	8,0	8,7	8,1	0,089	0,010	-0,099	
	2	8,0	8,0	7,9	0	-0,010	0,010	
	3	8,0	8,3	8,0	0,045	0,0	-0,045	0,05386
4	1	8,0	9,1	7,2	0,133	-0,105	-0,028	
	2	8,0	8,7	7,0	0,089	0,144	0,055	
	3	8,0	8,9	7,1	0,111	0,124	0,013	0,15218

VŠST LIBEREC  
FAKULTA STROJNÍ

Vliv rychlosti nástroje  
na rozdělení deformace na  
vzorku a modelu rotačního  
hlubokého výtažku.

DP - ST 586/67

30. října 1967

Obst Jaroslav 34.

Pokračování tabulky č. 1

číslo elementu		L <sub>0</sub> [mm]	L <sub>1</sub> [mm]	L <sub>2</sub> [mm]	γ <sub>1</sub>	γ <sub>2</sub>	γ <sub>3</sub>	ε <sub>z</sub>
	vlátko							
5	1	8,0	8,8	7,8	0,095	-0,144	0,049	
	2	8,0	9,6	7,1	0,175	-0,124	-0,051	
	3	8,0	9,2	7,0	0,135	-0,134	-0,001	0,12871
6	1	8,0	8,6	7,4	0,057	-0,085	0,028	
	2	8,0	8,6	7,3	0,057	-0,095	0,038	
	3	8,0	8,6	7,3	0,057	-0,090	0,033	0,15435
60 % hloubky tahu vzorku								
1	1	8,1	8,1	8,1	0	0	0	
	2	8,1	8,1	8,1	0	0	0	
	3	8,1	8,1	8,1	0	0	0	0
2	1	8,1	8,1	8,1	0	0	0	
	2	8,1	8,1	8,1	0	0	0	
	3	8,1	8,1	8,1	0	0	0	0
3	1	8,1	8,8	8,0	0,086	-0,010	-0,076	
	2	8,1	8,2	7,9	0,010	-0,022	0,012	
	3	8,1	8,5	7,9	0,048	-0,016	-0,032	0,04826
4	1	8,1	9,4	6,9	0,155	-0,168	0,013	
	2	8,1	9,0	6,7	0,103	-0,186	0,083	
	3	8,1	9,2	6,8	0,129	-0,177	0,048	0,18291
5	1	8,1	9,3	6,2	0,139	-0,278	0,139	
	2	8,1	10,5	6,0	0,261	-0,302	0,041	
	3	8,1	9,9	6,1	0,200	-0,290	0,090	0,29729
6	1	8,1	9,1	6,4	0,111	-0,220	0,109	
	2	8,1	10,1	6,4	0,222	-0,220	-0,002	
	3	8,1	9,6	6,4	0,167	-0,220	0,053	0,22942
80 % hloubky tahu vzorku								
1	1	8,1	8,1	8,1	0	0	0	
	2	8,1	8,1	8,1	0	0	0	
	3	8,1	8,1	8,1	0	0	0	0
2	1	8,1	8,1	8,1	0	0	0	
	2	8,1	8,1	8,1	0	0	0	
	3	8,1	8,1	8,1	0	0	0	0

Pokračování tabulky č. 1

číslo elementu		L <sub>0</sub> [mm]	L <sub>1</sub> [mm]	L <sub>2</sub> [mm]	γ <sub>1</sub>	γ <sub>2</sub>	γ <sub>3</sub>	ε <sub>i</sub>
	vlákno							
3	1	8,1	9,0	8,1	0,103	0,0	-0,103	
	2	8,1	8,2	7,8	0,010	-0,041	0,031	
	3	8,1	8,6	7,9	0,057	-0,020	-0,037	0,05778
4	1	8,1	9,5	6,8	0,155	-0,177	0,022	
	2	8,1	9,0	6,7	0,103	-0,186	0,083	
	3	8,1	9,2	6,75	0,129	-0,181	0,052	0,18630
5	1	8,1	11,15,5		0,315	-0,390	0,075	
	2	8,1	11,55,3		0,350	-0,430	0,080	
	3	8,1	11,25,4		0,332	-0,410	0,078	0,43533
6	1	8,1	10,45,6		0,263	-0,371	0,108	
	2	8,1	11,45,8		0,343	-0,330	-0,013	
	3	8,1	10,95,7		0,303	-0,350	0,047	0,37982
100 % hloubky tahu vzorku								
1	1	8,1	8,1	8,1	0	0	0	
	2	8,1	8,1	8,1	0	0	0	
	3	8,1	8,1	8,1	0	0	0	0
2	1	8,1	8,1	8,1	0	0	0	
	2	8,1	8,1	8,1	0	0	0	
	3	8,1	8,1	8,1	0	0	0	0
3	1	8,1	9,2	8,0	0,123	-0,010	-0,113	
	2	8,1	8,3	7,7	0,020	-0,053	0,033	
	3	8,1	8,7	7,8	0,072	-0,031	-0,041	0,07215
4	1	8,1	9,6	6,8	0,164	-0,177	0,013	
	2	8,1	9,1	6,6	0,111	-0,212	0,101	
	3	8,1	9,3	6,7	0,138	-0,194	0,056	0,19959
5	1	8,1	11,4	5,3	0,343	-0,430	0,087	
	2	8,1	11,3	5,3	0,336	-0,430	0,094	
	3	8,1	11,3	5,3	0,339	-0,430	0,091	0,42520
6	1	8,1	11,9	5,1	0,385	-0,464	0,079	
	2	8,1	11,9	5,0	0,385	-0,480	0,095	
	3	8,1	11,9	5,0	0,385	-0,474	0,099	0,49733

Tab. č. 2  
Vzorek - přístříh Ø 104 mm, m = 0,57  
20 % hloubky tahu vzorku

číslo elementu		L <sub>o</sub> [mm]	L <sub>z</sub> [mm]	L <sub>z</sub> [mm]	γ <sub>1</sub>	γ <sub>2</sub>	γ <sub>3</sub>	Ei
	vlákno							
1	1	8,0	8,0	8,0	0	0	0	0
	2	8,0	8,0	8,0	0	0	0	
	3	8,0	8,0	8,0	0	0	0	
2	1	8,0	8,0	8,0	0	0	0	0
	2	8,0	8,0	8,0	0	0	0	
	3	8,0	8,0	8,0	0	0	0	
3	1	8,0	8,3	7,9	0,035	-0,010	-0,025	0,03157
	2	8,0	8,2	8,1	0,021	0,010	-0,031	
	3	8,0	8,2	8,0	0,028	0	-0,028	
4	1	8,0	8,3	8,0	0,035	0	-0,035	0,04802
	2	8,0	8,6	7,8	0,057	-0,020	-0,037	
	3	8,0	8,4	7,9	0,046	-0,010	-0,036	
5	1	8,0	7,7	7,8	0,041	-0,020	-0,061	0,04661
	2	8,0	9,2	7,5	0,135	-0,010	-0,125	
	3	8,0	8,4	7,8	0,046	-0,015	-0,031	
6	1	8,0	8,1	8,0	0,010	0	-0,010	0,01149
	2	8,0	8,1	8,0	0,010	0	-0,010	
	3	8,0	8,1	8,0	0,010	0	-0,010	
40 % hloubky tahu vzorku								
1	1	8,0	8,0	8,0	0	0	0	0
	2	8,0	8,0	8,0	0	0	0	
	3	8,0	8,0	8,0	0	0	0	
2	1	8,0	8,0	8,0	0	0	0	0
	2	8,0	8,0	8,0	0	0	0	
	3	8,0	8,0	8,0	0	0	0	
3	1	8,0	8,4	8,1	0,048	0,010	-0,058	0,04029
	2	8,0	8,2	7,9	0,021	-0,010	-0,011	
	3	8,0	8,3	8,0	0,035	0	-0,035	
4	1	8,0	9,0	7,7	0,110	-0,041	-0,069	0,11339
	2	8,0	9,1	7,5	0,117	-0,082	-0,035	
	3	8,0	9,0	7,6	0,113	-0,061	-0,052	

Pokračování tabulky č. 2

číslo elementu		$L_x$ [mm]	$L_y$ [mm]	$L_z$ [mm]	$\gamma_1$	$\gamma_2$	$\gamma_3$	$E_i$
	vlákno							
5	1	8,0	8,4	6,9	0,048	-0,155	0,097	
	2	8,0	9,2	7,1	0,135	-0,124	-0,011	
	3	8,0	8,8	7,0	0,091	-0,140	0,049	0,14200
6	1	8,0	8,8	7,3	0,091	-0,095	0,004	
	2	8,0	9,0	7,3	0,110	-0,095	-0,015	
	3	8,0	8,9	7,3	0,100	-0,095	-0,005	0,11259
60 % hloubky tahu vzorku								
1	1	8,1	8,1	8,1	0	0	0	
	2	8,1	8,1	8,1	0	0	0	
	3	8,1	8,1	8,1	0	0	0	0
2	1	8,1	8,1	8,1	0	0	0	
	2	8,1	8,1	8,1	0	0	0	
	3	8,1	8,1	8,1	0	0	0	0
3	1	8,1	8,7	8,1	0,068	0	-0,068	
	2	8,1	8,0	7,8	0,010	-0,041	0,051	
	3	8,1	8,3	7,9	0,029	-0,020	-0,009	0,02290
4	1	8,1	9,3	7,7	0,139	-0,053	-0,086	
	2	8,1	8,6	7,5	0,057	-0,075	0,018	
	3	8,1	8,9	7,6	0,098	-0,064	-0,034	0,09949
5	1	8,1	9,2	6,5	0,129	-0,223	0,094	
	2	8,1	11,0	6,6	0,312	-0,212	-0,100	
	3	8,1	10,1	6,5	0,221	-0,218	-0,003	0,25337
6	1	8,1	8,9	6,7	0,095	-0,194	0,099	
	2	8,1	9,1	6,5	0,111	-0,223	0,112	
	3	8,1	9,0	6,6	0,103	-0,209	0,106	0,20859
80 % hloubky tahu vzorku								
1	1	8,0	8,0	8,0	0	0	0	
	2	8,0	8,0	8,0	0	0	0	
	3	8,0	8,0	8,0	0	0	0	0
2	1	8,0	8,0	8,0	0	0	0	
	2	8,0	8,0	8,0	0	0	0	
	3	8,0	8,0	8,0	0	0	0	0

Pokračování tabulky č. 2

číslo elementu		$L_1$ mm	$L_2$ mm	$L_3$ mm	$\gamma_1$	$\gamma_2$	$\gamma_3$	$E_i$
	vlákno							
3	1	8,0	8,8	8,1	0,095	0,010	-0,105	
	2	8,0	7,7	7,7	0	-0,041	0,041	
	3	8,0	8,4	7,9	0,048	-0,015	-0,033	0,04962
4	1	8,0	9,4	7,7	0,155	-0,041	-0,114	
	2	8,0	8,7	7,5	0,089	-0,062	-0,027	
	3	8,0	9,0	7,6	0,122	-0,051	-0,071	0,1224
5	1	8,0	10,4	6,2	0,263	-0,252	-0,011	
	2	8,0	11,2	6,2	0,336	-0,252	-0,086	
	3	8,0	10,8	6,2	0,300	-0,252	-0,048	0,32236
6	1	8,0	9,9	6,2	0,201	-0,252	0,051	
	2	8,0	10,3	5,8	0,249	-0,325	0,076	
	3	8,0	10,1	6,0	0,225	-0,289	0,064	0,3029
100 % hloubky tahu vzorku								
1	1	8,1	8,1	8,1	0	0	0	
	2	8,1	8,1	8,1	0	0	0	
	3	8,1	8,1	8,1	0	0	0	0
2	1	8,1	8,1	8,1	0	0	0	
	2	8,1	8,1	8,1	0	0	0	
	3	8,1	8,1	8,1	0	0	0	0
3	1	8,1	8,9	8,1	0,095	-0,05	-0,095	
	2	8,1	8,1	7,7	0	-0,053	0,053	
	3	8,1	8,5	7,9	0,048	-0,027	-0,021	0,04807
4	1	8,1	9,8	7,4	0,190	-0,094	-0,096	
	2	8,1	9,1	7,2	0,111	-0,105	-0,006	
	3	8,1	9,4	7,3	0,150	-0,100	-0,050	0,14907
5	1	8,1	10,8	6,2	0,284	-0,278	-0,006	
	2	8,1	11,3	6,2	0,336	-0,278	-0,058	
	3	8,1	11,0	6,2	0,310	-0,278	-0,032	0,30464
6	1	8,1	11,3	5,1	0,336	-0,464	0,128	
	2	8,1	11,5	5,1	0,350	-0,464	0,114	
	3	8,1	11,4	5,1	0,343	-0,464	0,121	0,47884

Tabulka č. 3  
Model - přístříh Ø 54 mm, m = 0,55  
20 % hloubky tahu modelu

číslo elementu		L <sub>1</sub> [mm]	L <sub>2</sub> [mm]	L <sub>3</sub> [mm]	γ <sub>1</sub>	γ <sub>2</sub>	γ <sub>3</sub>	E <sub>i</sub>
	vlákno							
1	1	4,2	4,2	4,2	0	0	0	0
	2	4,2	4,2	4,2	0	0	0	
	3	4,2	4,2	4,2	0	0	0	
2	1	4,2	4,2	4,2	0	0	0	0
	2	4,2	4,2	4,2	0	0	0	
	3	4,2	4,2	4,2	0	0	0	
3	1	4,2	4,4	4,2	0,045	0	-0,045	0,01974
	2	4,2	4,2	4,0	0	-0,052	0,052	
	3	4,2	4,3	4,1	0,022	-0,021	-0,001	
4	1	4,2	4,3	4,4	0,022	-0,052	0,030	0,07305
	2	4,2	4,6	3,9	0,095	-0,084	-0,011	
	3	4,2	4,4	3,9	0,058	-0,068	0,010	
5	1	4,2	4,1	3,9	0,021	-0,084	0,105	0,09114
	2	4,2	4,4	3,9	0,045	-0,084	0,039	
	3	4,2	4,2	3,9	0,011	-0,084	0,073	
6	1	4,2	4,3	4,0	0,022	-0,052	0,030	0,11650
	2	4,2	4,2	4,1	0	-0,021	0,021	
	3	4,2	4,2	4,1	0,011	-0,036	0,025	
<b>1</b> 40 % hloubky tahu modelu								
1	1	4,2	4,2	4,2	0	0	0	0
	2	4,2	4,2	4,2	0	0	0	
	3	4,2	4,2	4,2	0	0	0	
2	1	4,2	4,2	4,2	0	0	0	0
	2	4,2	4,2	4,2	0	0	0	
	3	4,2	4,2	4,2	0	0	0	
3	1	4,2	4,4	4,2	0,045	0	-0,045	0,01324
	2	4,2	4,2	3,9	0	-0,084	0,084	
	3	4,2	4,3	4,0	0,021	-0,042	0,020	
4	1	4,2	4,6	4,0	0,095	-0,052	-0,052	0,11966
	2	4,2	4,8	3,7	0,131	-0,130	-0,001	
	3	4,2	4,7	3,8	0,113	-0,091	-0,022	

VŠST LIBEREC  
FAKULTA STROJNÍ

Vliv rychlosti nástroje  
na rozdělení deformace na  
vzorku a modelu rotačního  
hlubokého výtažku.

DP-ST 586/67

30. října 1967

Obst Jaroslav 40.

Pokračování tabulky č. 3

číslo ele- mentu		$L_0$ [mm]	$L_1$ [mm]	$L_2$ [mm]	$\gamma_1$	$\gamma_2$	$\gamma_3$	$E_i$	
	vláknko								
5	1	4,2	4,3	4,0	0,021	-0,052	0,031		
	2	4,2	4,5	3,6	0,071	-0,156	0,085		
	3	4,2	4,4	3,8	0,045	-0,104	0,059	0,10411	
6	1	4,2	4,3	4,0	0,022	-0,052	0,030		
	2	4,2	4,3	4,0	0,022	-0,052	0,030		
	3	4,2	4,3	4,0	0,022	-0,052	0,030	0,02233	
	60 % hloubky tahu modelu								
1	1	4,2	4,2	4,2	0	0	0		
	2	4,2	4,2	4,2	0	0	0		
	3	4,2	4,2	4,2	0	0	0	0	
	1	4,2	4,2	4,2	0	0	0		
2	2	4,2	4,2	4,2	0	0	0		
	3	4,2	4,2	4,2	0	0	0	0	
	1	4,2	4,7	4,1	0,121	-0,021	-0,100		
3	2	4,2	4,3	3,9	0,021	-0,084	0,063		
	3	4,2	4,5	4,0	0,071	-0,052	-0,019	0,07305	
	1	4,2	4,8	3,6	0,131	-0,156	0,025		
4	2	4,2	4,7	3,8	0,121	-0,105	-0,016		
	3	4,2	4,7	3,7	0,126	-0,130	0,004	0,14775	
	1	4,2	4,4	3,1	0,045	-0,304	0,259		
5	2	4,2	5,3	3,3	0,230	-0,233	0,003		
	3	4,2	4,8	3,2	0,138	-0,268	0,130	0,26798	
	1	4,2	4,3	3,3	0,021	-0,233	0,212		
6	2	4,2	4,8	3,5	0,131	-0,193	0,062		
	3	4,2	4,5	3,4	0,076	-0,213	0,137	0,21585	
	±	80 % hloubky tahu modelu							
1	1	4,2	4,2	4,2	0	0	0		
	2	4,2	4,2	4,2	0	0	0		
	3	4,2	4,2	4,2	0	0	0	0	
	1	4,2	4,2	4,2	0	0	0		
2	2	4,2	4,2	4,2	0	0	0		
	3	4,2	4,2	4,2	0	0	0	0	

Počítávací tabulky č. 3

číslo elementu		L <sub>o</sub> [mm]	L <sub>1</sub> [mm]	L <sub>2</sub> [mm]	γ <sub>1</sub>	γ <sub>2</sub>	γ <sub>3</sub>	E <sub>2</sub>
3	vlákno							
	1	4,2	4,8	4,1	0,131	-0,021	-0,110	
	2	4,2	4,4	3,8	0,045	-0,105	0,060	
4	3	4,2	4,6	3,9	0,088	-0,063	-0,025	0,09063
	1	4,2	5,4	3,8	0,239	-0,105	-0,134	
	2	4,2	5,2	3,4	0,206	-0,213	0,007	
5	3	4,2	5,3	3,6	0,222	-0,159	-0,063	0,22867
	1	4,2	5,4	3,2	0,239	-0,278	0,039	
	2	4,2	5,8	3,1	0,322	-0,304	-0,018	
6	3	4,2	5,6	3,1	0,280	-0,291	0,011	0,32967
	1	4,2	4,8	3,0	0,131	-0,345	0,214	
	2	4,2	5,3	2,9	0,222	-0,373	0,151	
	3	4,2	5,0	2,9	0,177	-0,359	0,182	0,35870
100 % hloubky taha modelu								
1	4,2	4,2	4,2	0	0	0		
1	2	4,2	4,2	4,2	0	0	0	
	3	4,2	4,2	4,2	0	0	0	0
	1	4,2	4,2	4,2	0	0	0	
2	2	4,2	4,2	4,2	0	0	0	
	3	4,2	4,2	4,2	0	0	0	0
	1	4,2	4,9	3,7	0,154	-0,129	-0,025	
3	2	4,2	4,5	3,6	0,064	-0,156	0,092	
	3	4,2	4,7	3,6	0,109	-0,142	0,033	0,14167
	1	4,2	5,5	3,4	0,268	-0,213	-0,055	
4	2	4,2	5,2	3,2	0,206	-0,278	0,072	
	3	4,2	5,3	3,3	0,237	-0,245	0,008	0,30073
	1	4,2	5,1	3,0	0,371	-0,343	0,028	
5	2	4,2	5,9	3,1	0,336	-0,304	-0,032	
	3	4,2	6,0	3,0	0,350	-0,320	-0,030	0,3878
	1	4,2	6,2	2,8	0,392	-0,402	0,010	
6	2	4,2	6,2	2,8	0,392	-0,402	0,010	
	3	4,2	6,2	2,8	0,392	-0,402	0,010	0,45857

Tabulka č. 4  
Model - přistříh Ø 52 mm, m = 0,57  
20 % hloubky tahu modelu

číslo elementu		L [mm]	L [mm]	L [mm]	$\gamma_1$	$\gamma_2$	$\gamma_3$	$E_i$
	vlákno							
1	1	4,2	4,2	4,2	0	0	0	0
	2	4,2	4,2	4,2	0	0	0	
	3	4,2	4,2	4,2	0	0	0	
2	1	4,2	4,2	4,2	0	0	0	0
	2	4,2	4,2	4,2	0	0	0	
	3	4,2	4,2	4,2	0	0	0	
3	1	4,2	4,5	4,1	0,071	-0,021	-0,050	0,02592
	2	4,2	4,1	4,1	-0,020	-0,021	0,042	
	3	4,2	4,3	4,1	0,021	-0,021	-0,001	
4	1	4,2	4,4	3,8	0,045	-0,107	0,062	0,10707
	2	4,2	4,5	3,8	0,071	-0,107	0,036	
	3	4,2	4,4	3,8	0,058	-0,107	0,049	
5	1	4,2	4,2	3,9	0	-0,084	0,084	0,09939
	2	4,2	4,4	3,8	0,045	-0,107	0,062	
	3	4,2	4,3	3,8	0,022	-0,095	0,073	
6	1	4,2	4,3	4,1	0,022	-0,021	-0,001	0,02092
	2	4,2	4,2	4,1	0	-0,021	0,021	
	3	4,2	4,2	4,1	0,011	-0,021	0,010	
40 % hloubky tahu modelu								
1	1	4,2	4,2	4,2	0	0	0	0
	2	4,2	4,2	4,2	0	0	0	
	3	4,2	4,2	4,2	0	0	0	
2	1	4,2	4,2	4,2	0	0	0	0
	2	4,2	4,2	4,2	0	0	0	
	3	4,2	4,2	4,2	0	0	0	
3	1	4,2	4,5	4,2	0,071	0	-0,071	0,03129
	2	4,2	4,1	4,0	-0,021	-0,052	0,073	
	3	4,2	4,3	4,1	0,021	-0,026	0,005	
4	1	4,2	4,5	3,9	0,071	-0,084	0,013	0,11122
	2	4,2	4,6	3,7	0,088	-0,130	0,042	
	3	4,2	4,5	3,8	0,080	-0,107	0,027	

Pokračování tabulky č. 4

číslo elementu		L [mm]	L [mm]	L [mm]	$\gamma_1$	$\gamma_2$	$\gamma_3$	$E_i$
	vlákno							
5	1	4,2	4,2	3,7	0	-0,130	0,130	
	2	4,2	4,5	3,6	0,071	-0,159	0,088	
	3	4,2	4,3	3,6	0,035	-0,145	0,110	0,15224
6	1	4,2	4,4	3,7	0,045	-0,130	0,086	
	2	4,2	4,4	3,8	0,045	-0,108	0,063	
	3	4,2	4,4	3,7	0,045	-0,119	0,074	0,11051
60 % hloubky tahu modela								
1	1	4,2	4,2	4,2	0	0	0	
	2	4,2	4,2	4,2	0	0	0	
	3	4,2	4,2	4,2	0	0	0	0
2	1	4,2	4,2	4,2	0	0	0	
	2	4,2	4,2	4,2	0	0	0	
	3	4,2	4,2	4,2	0	0	0	0
3	1	4,2	4,5	3,9	0,071	-0,084	0,013	
	2	4,2	4,2	4,1	0	-0,021	0,021	
	3	4,2	4,3	4,0	0,035	-0,052	0,017	0,05297
4	1	4,2	4,9	3,9	0,154	-0,084	-0,070	
	2	4,2	4,8	3,7	0,131	-0,130	-0,001	
	3	4,2	4,8	3,8	0,143	-0,107	-0,036	0,18724
5	1	4,2	4,3	3,2	0,021	-0,278	0,257	
	2	4,2	5,2	3,2	0,206	-0,278	0,072	
	3	4,2	4,7	3,2	0,113	-0,278	0,165	0,27952
6	1	4,2	4,4	3,3	0,045	-0,245	0,200	
	2	4,2	4,8	3,3	0,131	-0,245	0,114	
	3	4,2	4,6	3,3	0,088	-0,245	0,157	0,24804
80 % hloubky tahu modelu								
1	1	4,2	4,2	4,2	0	0	0	
	2	4,2	4,2	4,2	0	0	0	
	3	4,2	4,2	4,2	0	0	0	0
2	1	4,2	4,2	4,2	0	0	0	
	2	4,2	4,2	4,2	0	0	0	
	3	4,2	4,2	4,2	0	0	0	0

Pokračování tabulky č. 4

číslo elementu		L [mm]	L [mm]	L [mm]	$\gamma_1$	$\gamma_2$	$\gamma_3$	$Ei$
	vlákno							
3	1	4,2	4,7	4,2	0,109	0	-0,109	
	2	4,2	4,4	3,9	0,045	-0,084	0,039	
	3	4,2	4,5	4,0	0,077	-0,042	-0,035	0,07701
4	1	4,2	5,1	4,0	0,190	-0,052	-0,138	
	2	4,2	4,8	3,6	0,131	-0,156	0,025	
	3	4,2	4,9	3,8	0,160	-0,104	-0,056	0,16269
5	1	4,2	5,5	3,3	0,268	-0,245	-0,023	
	2	4,2	5,7	3,1	0,299	-0,304	0,005	
	3	4,2	5,6	3,2	0,283	-0,275	-0,008	0,32232
6	1	4,2	4,6	3,0	0,088	-0,343	0,255	
	2	4,2	5,0	3,0	0,174	-0,343	0,169	
	3	4,2	4,8	3,0	0,131	-0,343	0,212	0,34602
100 % hloubky tahu modelu								
1	1	4,2	4,2	4,2	0	0	0	
	2	4,2	4,2	4,2	0	0	0	
	3	4,2	4,2	4,2	0	0	0	0
2	1	4,2	4,2	4,2	0	0	0	
	2	4,2	4,2	4,2	0	0	0	
	3	4,2	4,2	4,2	0	0	0	0
3	1	4,2	4,8	4,1	0,131	-0,021	-0,110	
	2	4,2	4,4	3,9	0,045	-0,084	0,039	
	3	4,2	4,6	4,0	0,088	-0,052	-0,036	0,08841
4	1	4,2	5,2	3,9	0,206	-0,084	-0,122	
	2	4,2	4,9	3,6	0,154	-0,156	0,002	
	3	4,2	5,0	3,7	0,180	-0,120	-0,060	0,18324
5	1	4,2	5,6	3,2	0,280	-0,278	-0,002	
	2	4,2	5,7	3,1	0,299	-0,304	0,005	
	3	4,2	5,6	3,1	0,288	-0,291	0,002	0,21170
6	1	4,2	5,7	2,9	0,299	-0,373	0,074	
	2	4,2	5,7	2,9	0,299	-0,373	0,074	
	3	4,2	5,7	2,9	0,299	-0,373	0,074	0,39471

tab. 5 Porovnání deformace vzorku a modelu  
vzorek - přístrěk Ø 108 mm  
model - přístrěk Ø 54 mm  
(uvažuje střední hodnoty deformace).

číslo elementu	$ \Delta \gamma_1 $	$ \Delta \gamma_2 $
100 % hloubky tahu		
1	0	0
2	0	0
3	0,037	0,111
4	0,106	0,051
5	0,011	0,110
6	0,07	0,072
80 % hloubky tahu		
1	0	0
2	0	0
3	0,031	0,043
4	0,093	0,022
5	0,052	0,119
6	0,126	0,009
60 % hloubky tahu		
1	0	0
2	0	0
3	0,023	0,036
4	0,003	0,051
5	0,062	0,022
6	0,091	0,007
40 % hloubky tahu		
1	0	0
2	0	0
3	0,023	0,042
4	0,020	0,033
5	0,031	0,030
6	0,005	0,038

Pokračování tabulky č. 5

číslo elementu	$ \Delta \gamma_1 $	$ \Delta \gamma_2 $
20 % hloubky tahu		
1	0	0
2	0	0
3	0,012	0,016
4	0,010	0,043
5	0,033	0,054
6	0,011	0,036

tab. 6 Porovnání deformace vzorku a modelu  
vzorek - přistříh Ø 104 mm  
model - přistříh Ø 52 mm  
(uváději střední hodnoty deformace)

číslo elementu	$ \Delta \gamma_1 $	$ \Delta \gamma_2 $
100 % hloubky tahu		
1	0	0
2	0	0
3	0,040	0,025
4	0,030	0,020
5	0,021	0,013
6	0,044	0,091
80 % hloubky tahu		
1	0	0
2	0	0
3	0,029	0,027
4	0,038	0,053
5	0,017	0,023
6	0,094	0,054

Pokračování tabulky č. 6

číslo elementu	$ \Delta \gamma_1 $	$ \Delta \gamma_2 $
60 % hloubky tahu		
1	0	0
2	0	0
3	0,06	0,032
4	0,045	0,043
5	0,108	0,060
6	0,015	0,036
40 % hloubky tahu		
1	0	0
2	0	0
3	0,014	0,026
4	0,033	0,046
5	0,054	0,005
6	0,019	0,024
20 % hloubky tahu		
1	0	0
2	0	0
3	0,008	0,021
4	0,012	0,097
5	0,024	0,080
6	0,001	0,021

### 6.6.1. Grafické znázornění průběhu deformací vzorku a modelu.

Pro snadnější porovnání deformace vzorku a modelu jsem vypočtené hodnoty logaritmických deformací vynesl do diagramů. (Grafy přiloženy za touto kapitolou - graf č. 1, 2, 3, 4).

Z grafického znázornění je vidět, že naměřené deformace u vzorků a modelů jsou v odpovídajících místech přibližně stejné. Vzniklé nepřesnosti je možno zdůvodnit nepřesností v odměřování.

Grafická závislost logaritmických deformací jednotlivých elementů na hloubce zapuštění beranů -  $h$  mm je na grafech č. 5, 6.

### 6.6.2. Grafické experimentální stanovení přetvárné rychlosti.

Hodnoty rychlosti skutečné deformace-w (přetvárné rychlosti) jsem dostal grafickou derivací závislostí na grafech č. 5, 6 a vynásobením příslušnou hodnotou střední rychlosti nástroje-v.

$$w = \frac{dy}{dt} = v \cdot \frac{dy}{dh} = v \cdot \frac{\Delta y}{\Delta h}$$

$$v = \frac{dh}{dt} \Rightarrow dt = \frac{dh}{v}$$

Tažení skutečného výlisku bylo prováděno na hydraulickém lise s konstantní střední rychlostí pohybu nástroje  $v = 5$  mm/sec = konst.

Tažení modelového výlisku bylo prováděno na excentrickém lise s proměnnou rychlostí pohybu nástroje  $v \neq$  konst.

Určení rychlosti nástroje pro jednotlivé polohy kliky.

$$\text{zdvih} - z = 41 \text{ mm}$$

$$\text{délka ojnice} - l = 430 \text{ mm}$$

$$\text{poloměr kliky} - r = \frac{z}{2} = 20,5 \text{ mm}$$

$$\lambda = \frac{r}{l} = \frac{20,5}{430} = 0,048$$

$$\text{otáčky kliky} - n = 67 \text{ [1/min]}$$

$$\text{dráha beranu} - s_\alpha = r [(1 - \cos \alpha) + \frac{1}{2} \lambda \sin^2 \alpha]$$

$$\text{úhel pootočení kliky} - \alpha$$

$$\text{úhlová rychlosť} - \omega$$

$$\text{rychlosť beranu} - v_\alpha$$

$$v_\alpha = r \cdot \omega [\sin \alpha + \frac{1}{2} \lambda \sin 2\alpha]$$

$$\omega = \frac{\pi \cdot n}{30} = \frac{\pi \cdot 67}{30} = 70 \text{ [1/sec]}$$

Tabulka č. 7

$\alpha [^\circ]$	0	10	20	30	40	50	60	70	80	90
$a$ [mm]	0	0,3	1,3	2,9	4,8	7,6	10,7	14	17,5	21
$v_\alpha$ [mm/sec]	0	26,5	51,5	75,5	96,5	113	128	138	144	145

Grafická závislost rychlosti pohybu nástroje na

dráze beranu je na grafu č. 7

(přiložen za touto kapitolou)

Odměřené a vypočtené hodnoty přetvárné rychlosti.

Vzorek - přistřih  $\varnothing$  108 mm,  $m = 0,55$ ,  $v = \text{konst.}$

Tabulka č. 8

číslo elem.	w [1/sec]				
	h = hloubka zapuštění beranu [mm]				
	7,2	14,4	21,6	28,8	36
1	0	0	0	0	0
2	0	0	0	0	0
3	0,07	0,21	0,14	0,09	0,04
4	0,35	0,28	0,25	0,10	0,05
5	0,42	0,49	0,77	0,50	0,07
6	0,14	0,42	0,84	0,91	0,84

Vzorek - přistřih  $\varnothing$  104 mm,  $m = 0,57$ ,  $v = \text{konst.}$

Tabulka č. 9

číslo elem.	w [1/sec]				
	h = hloubka zapuštění beranu [mm]				
	6,4	12,8	19,2	25,6	32
1	0	0	0	0	0
2	0	0	0	0	0
3	0,09	0,12	0,10	0,09	0,07
4	0,36	0,17	0,16	0,16	0,12
5	0,38	0,56	0,91	0,35	0,11
6	0,21	0,35	0,63	0,91	1,12

30. října 1967

Obst Jaroslav 51.

Model - přistřih Ø 54 mm,  $m = 0,55$ ,  $v \neq \text{konst.}$

Tabulka č. 10

číslo elem.	w [1/sec]				
	h = hloubka zapuštění beranu [mm]				
	3,6	7,2	10,8	14,4	18
1	0	0	0	0	0
2	0	0	0	0	0
3	0,28	0,42	0,49	0,50	0,05
4	2,24	1,40	1,35	1,30	0,07
5	0,95	2,28	5,05	3,36	0,60
6	0,70	1,12	2,42	3,92	4,20

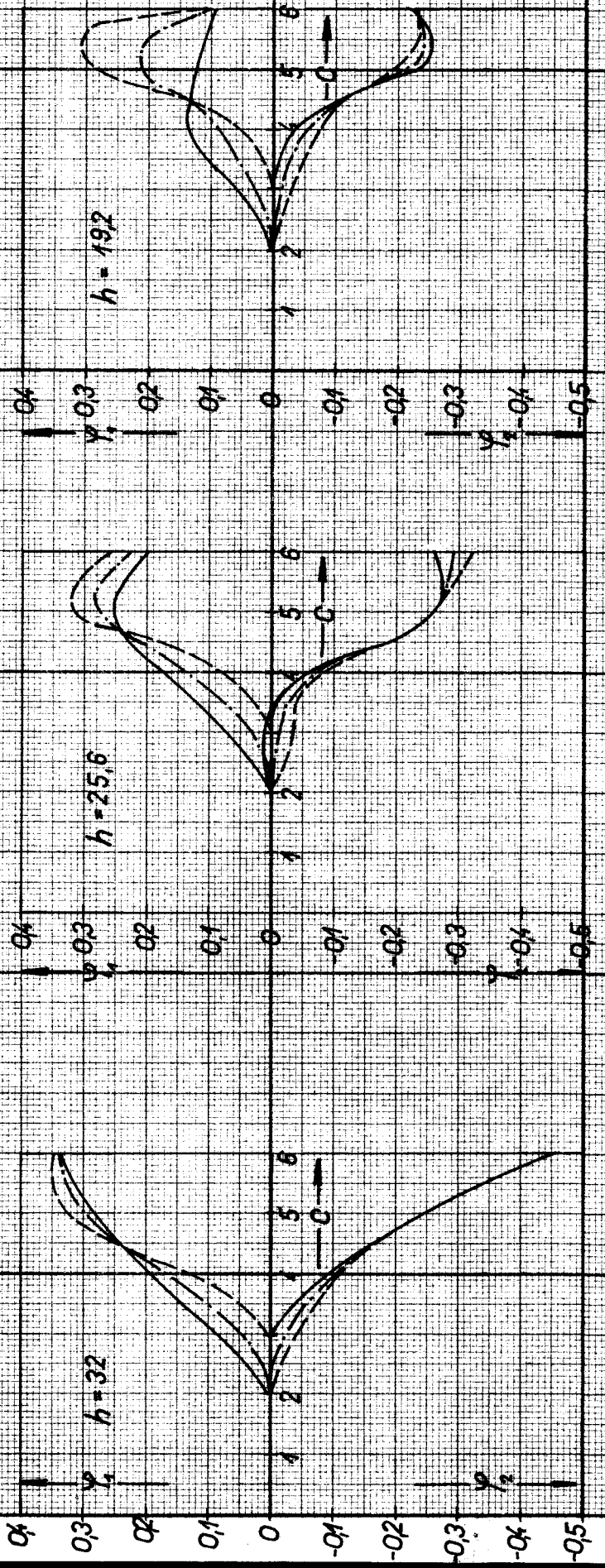
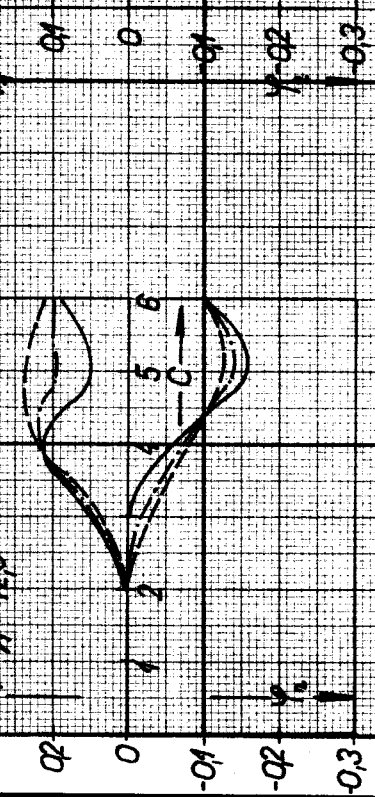
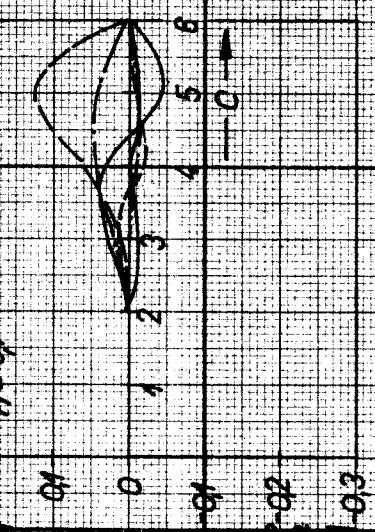
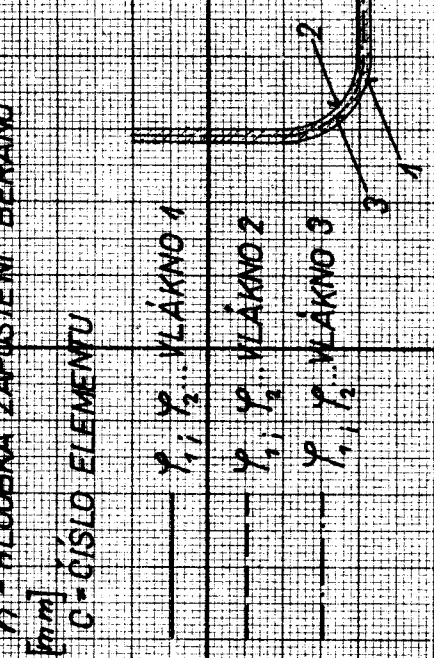
Model - přistřih Ø 52 mm,  $m = 0,57$ ,  $v \neq \text{konst.}$

Tabulka č. 11

číslo elem.	w [1/sec]				
	h = hloubka zapuštění beranu [mm]				
	3,2	6,4	9,6	12,8	16
1	0	0	0	0	0
2	0	0	0	0	0
3	0,42	0,50	0,40	0,38	0,03
4	2,24	1,65	1,40	0,58	0,05
5	1,12	2,54	4,75	1,67	0,07
6	0,60	1,14	1,35	2,8	3,92

Grafická závislost přetvárné rychlosti na hloubce  
zapuštění beranu (sestaveno z hodnot pro logarit-  
mické deformace v radiálním směru) je na grafu  
č. 8, 9

Porovnání závislosti přetvárné rychlosti-w  
v průběhu jednotlivých hloubek zapuštění beranu u  
vzorku a modelu je na grafu č. 10



MODEL 154

$h$  = HLoubka zapuštění beranu

[mm]

$C$  = CISLD ELEMENTU

$\varphi_1, \varphi_2$  VLAKNO 1

$\varphi_1, \varphi_2$  VLAKNO 2

$\varphi_1, \varphi_2$  VLAKNO 3

$h = 108$

$h = 144$

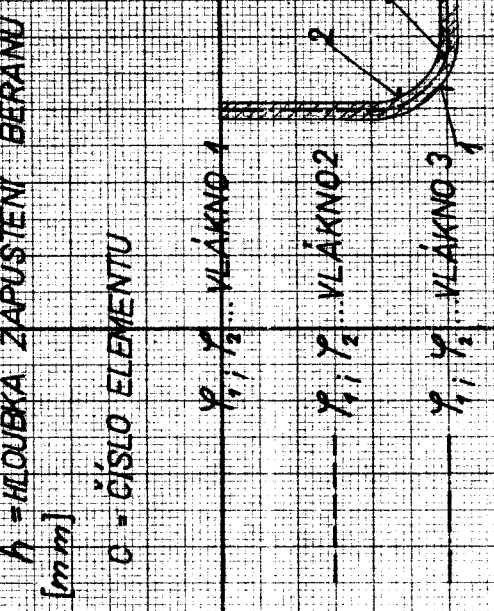
$h = 18$

$h = 22$

$h = 36$

$h = 72$

$h = 108$



VZOREK # 108

$h = \text{HLOUÈKA ZAPUSTENÍ BERAMI}$

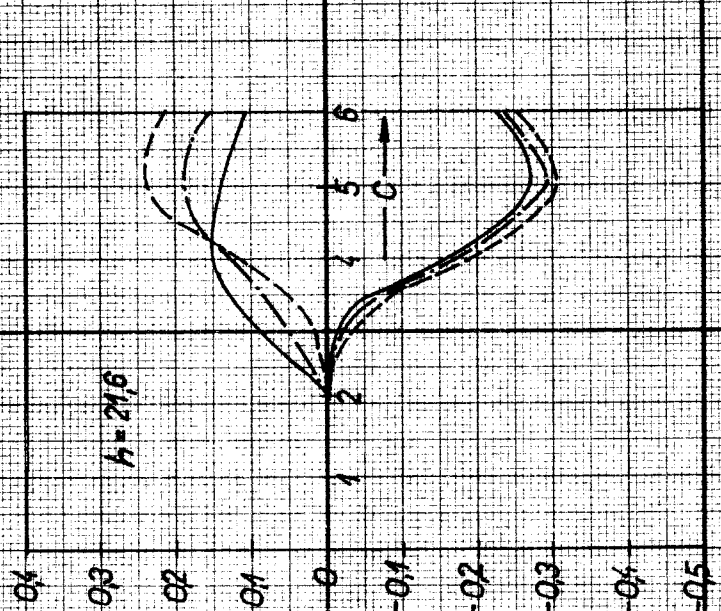
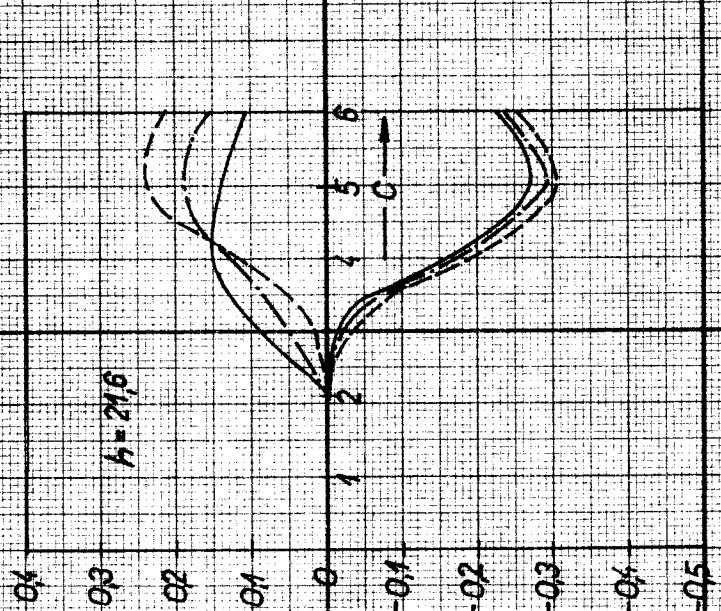
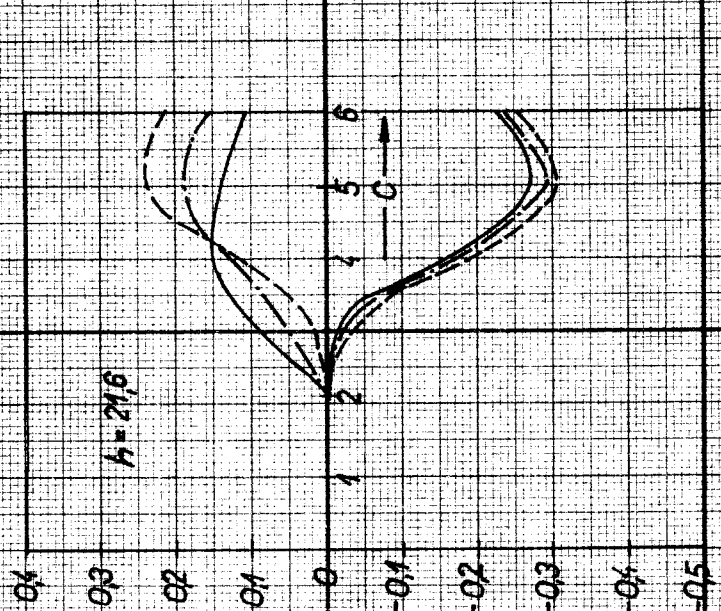
$[mm]$

$\sigma = \text{VISLO ELEMENTU}$

$\gamma_1, \gamma_2, \gamma_3$  VLAHO 1

$\gamma_1, \gamma_2, \gamma_3$  VLAHO 2

$\gamma_1, \gamma_2, \gamma_3$  VLAHO 3



$h = \text{HLOUBKA ZA PŘÍSTĚVÍ BERANU}$   
[mm] CÍČSLO ELEMENTU

1

2

3

4

5

6

7

8

9

10

11

12

13

14

15

16

17

18

19

20

21

22

23

24

25

26

27

28

29

30

31

32

33

34

35

36

37

38

39

40

41

42

43

44

45

46

47

48

49

50

51

52

53

54

55

56

57

58

59

60

61

62

63

64

65

66

67

68

69

70

71

72

73

74

75

76

77

78

79

80

81

82

83

84

85

86

87

88

89

90

91

92

93

94

95

96

97

98

99

100

101

102

103

104

105

106

107

108

109

110

111

112

113

114

115

116

117

118

119

120

121

122

123

124

125

126

127

128

129

130

131

132

133

134

135

136

137

138

139

140

141

142

143

144

145

146

147

148

149

150

151

152

153

154

155

156

157

158

159

160

161

162

163

164

165

166

167

168

169

170

171

172

173

174

175

176

177

178

179

180

181

182

183

184

185

186

187

188

189

190

191

192

193

194

195

196

197

198

199

200

201

202

203

204

205

206

207

208

209

210

211

212

213

214

215

216

217

218

219

220

221

222

223

224

225

226

227

228

229

230

231

232

233

234

235

236

237

238

239

240

241

242

243

244

245

246

247

248

249

250

251

252

253

254

255

256

257

258

259

260

261

262

263

264

265

266

267

268

269

270

271

272

273

274

275

276

277

278

279

280

281

282

283

284

285

286

287

288

289

290

291

292

293

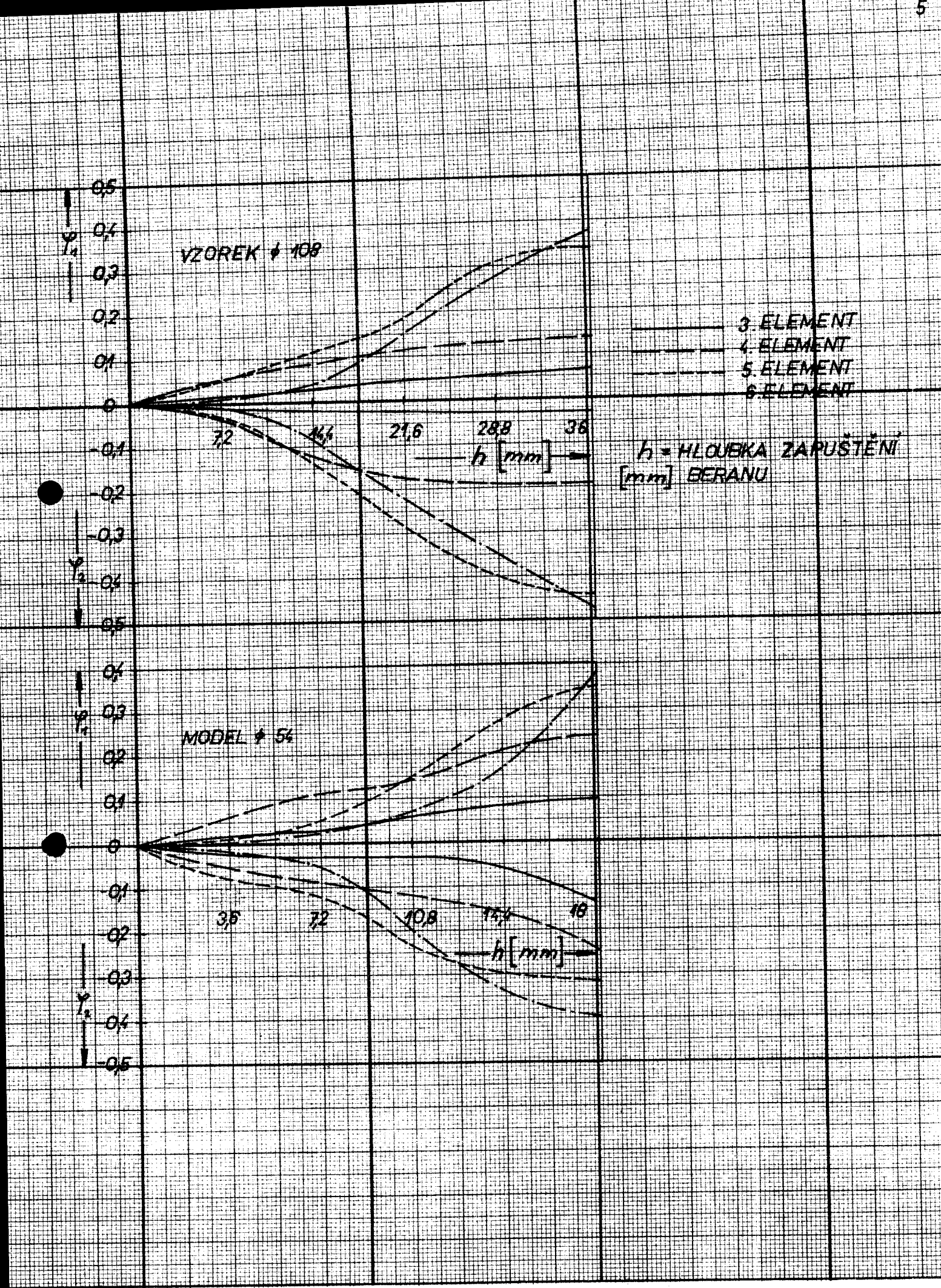
294

295

296

297

298



$\varphi_1$

VZOREK #104

0,5

0,4

0,3

0,2

0,1

0

-0,1

-0,2

-0,3

-0,4

-0,5

0,6

120

192

256

32

 $h$  [mm]

- 3.ELEMENT
- 4.ELEMENT
- 5.ELEMENT
- 6.ELEMENT

$h$  = HLoubka zapuštění  
[mm] BERANU

MODEL #52

0,6

0,5

0,4

0,3

0,2

0,1

0

-0,1

-0,2

-0,3

-0,4

-0,5

64

96

128

160

 $h$  [mm]

$$V_x = f(s_x)$$

$\frac{m}{sec}$

150

100

50

0

$V_x$  = RYCHLOST BERANU

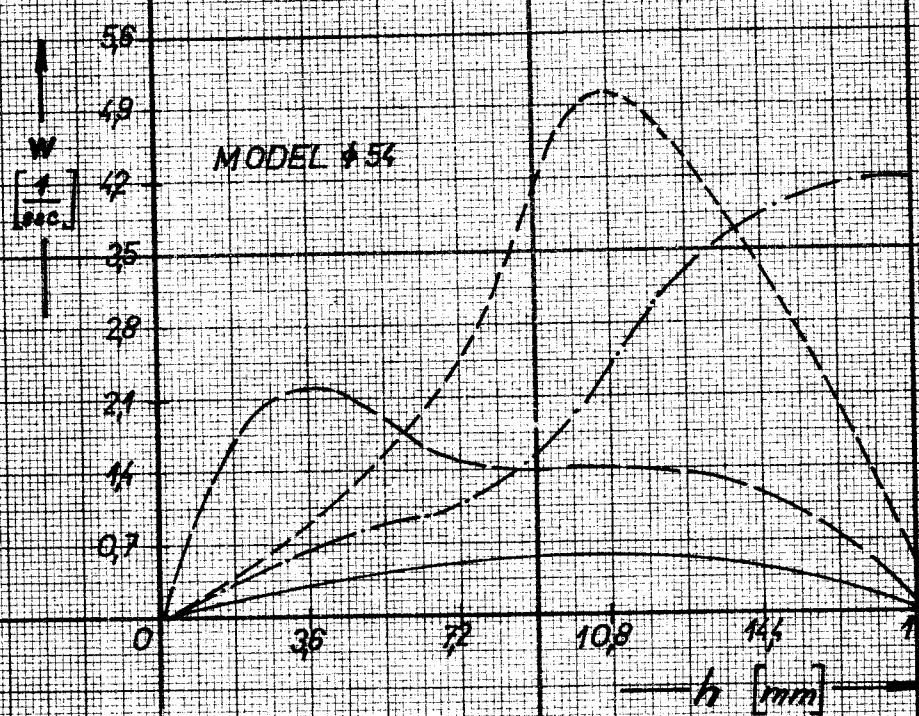
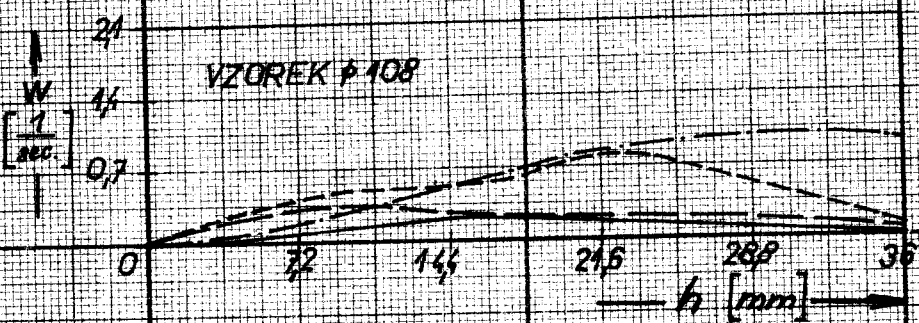
$s_x$  = DRAHA BERANU

$s_x [mm]$

10

0

20



3.ELEMENT  
4.ELEMENT  
5.ELEMENT  
6.ELEMENT

$h$  = HLUBKA ZAPUŠTĚNÍ  
[mm] BERANU

W  
[1  
sec]  
0,7

VZOREK  $\phi 104$

0 86 128 192 256 32

$h$  [mm]

W  
[1  
sec]  
0,7

MODEL  $\phi 52$

28  
24  
16  
0,7

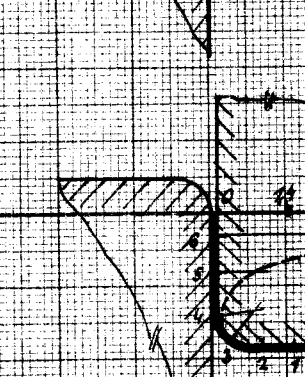
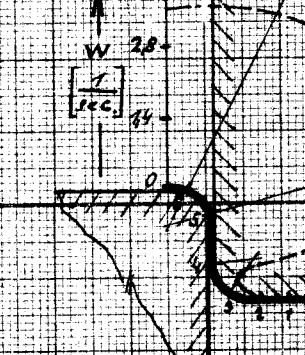
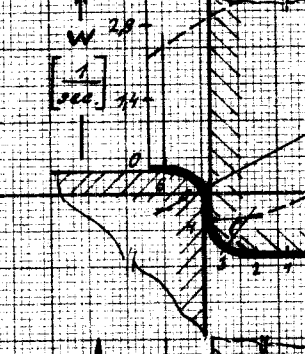
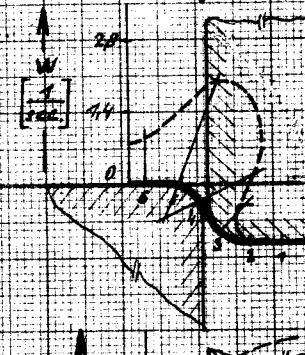
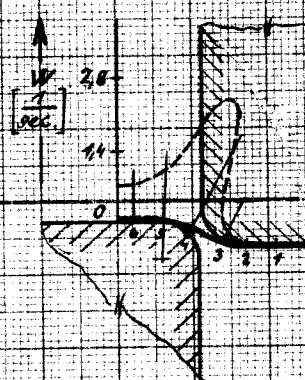
0 32 64 96 128 160

$h$  [mm]

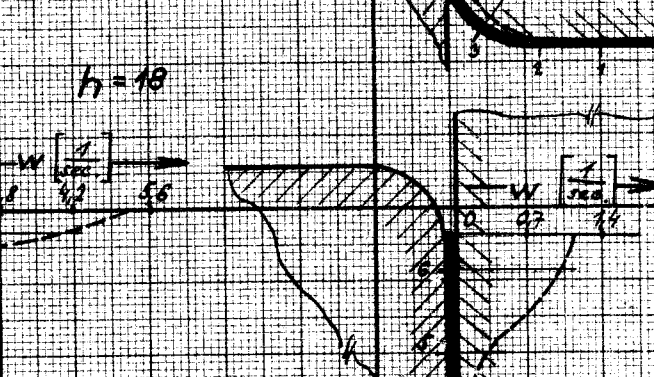
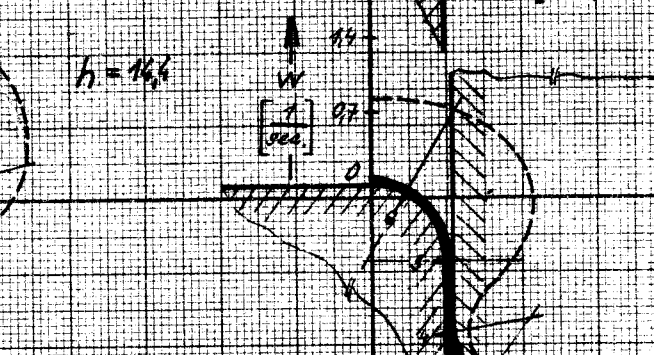
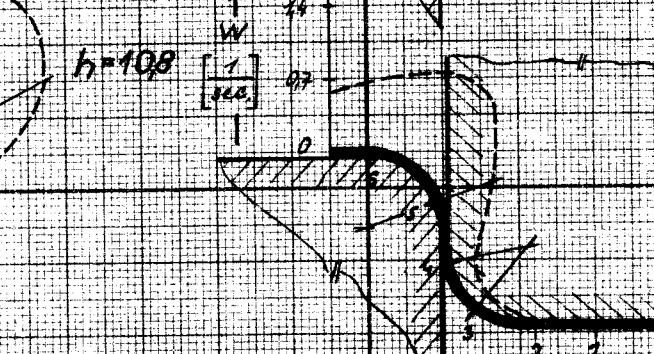
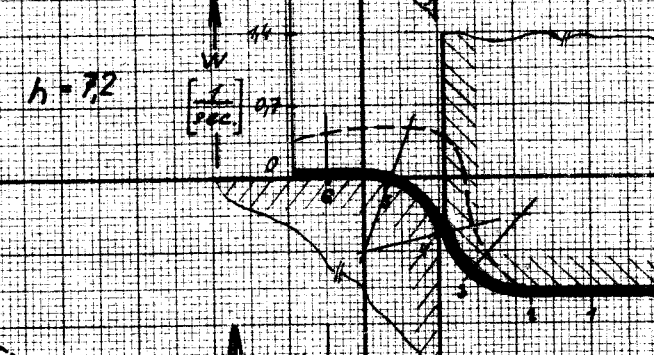
3 ELEMENT  
4 ELEMENT  
5 ELEMENT  
6 ELEMENT

$h$  = HLUBKA ZAPUŠTĚNÍ  
[mm] BERANU

MODEL 456



VZOREK P 108



$h$  = HLOUBKA ZAPUŠTĚNÍ BERANU  
[mm]

30. října 1967

Obst Jaroslav 52.

7. Zhodnocení vlivu rychlosti nástroje a přetvárné rychlosti u vzorku a modelu rotačního hlubokého výtažku.

Při provedeném měření jsem nezistil vliv rychlosti nástroje (v měřeném rozsahu 1 - 145 mm/sec) na rozdělení deformace u vzorku a modelu. Vzniklé rozdíly byly pravděpodobně způsobeny nepřesnosti odměrování deformovaných kroužků, protože měření délek os elips v průběhu tažení 20, 40, 60, 80, 100 % hloubky tahu, vzhledem ke tvaru výtažku již není tak přesné. Proto jsou rozdíly deformací u některých elementů větší.

Také v průběhu rychlosti skutečné deformace (přetvárné rychlosti) jsem nenaměřil podstatného rozdílu mezi vzorkem taženém s konstantní rychlosťí nástroje ( $v = 5 \text{ mm/sec}$ ) a modelem taženém s proměnnou rychlosťí nástroje (graf 7.  $v=1 - 145 \text{ mm/sec}$ ). Průběhy křivek na grafu č. 10 si odpovídají, pouze nelze srovnávat rychlosť skutečné deformace vzorku a modelu v odpovídajících si bodech v absolutní hodnotě.

Pro praktická měření lze předpokládat, že v rozmezí rychlosti nástroje (1 - 145 mm/sec) vliv rychlosti nástroje nemusíme brát v úvahu.

V Liberci 28. října 1967

*Obst Jaroslav*

**VŠST LIBEREC**  
**FAKULTA STROJNÍ**

Vliv rychlosti nástroje  
na rozdělení deformace na  
vzorku a modelu rotačního  
hlubokého výtažku.

**DP - ST 586/67**

**30. října 1967**

**Obst Jaroslav 53.**

Chtěl bych touto cestou poděkovat za cenné  
rady a připomínky vedoucímu diplomové práce  
Ing. K r i š t o f o v i , konsultantům  
Ing. M i k e š o v i a Ing. T m ě j e v i  
a pracovníkům Vývojových dílen VŠST za včasné  
a kvalitní vyrobení modelového nástroje.

8. Seznam literatury:

- [1] Siebel - Beisswanger: Hluboké tažení,  
SNTL Praha 1958
- [2] Oehler: Plechy a jejich zkoušení, SNTL Praha 1958
- [3] Drastík: Rozbory modelových zkoušek plastického  
tečení kovů ČSAV 1964
- [4] Panknin: Der Einfluss der Ziehgeschwindigkeit  
Auf das Tiefziechenin Auschlag  
Blech 6 - 1959, č. 9 str. 391 - 396
- [5] Zajcev: Zakon mehaničeskogo podobia pri defor-  
macii raznych metallov  
Zavodskaja laboratoria tom XVI 1950
- [6] Šechtér: Maximalnaja skorost deformacii pri  
glubokoj výtažke listovych metalov  
Kuzněčno - štampovočnoje proizvodstvo  
č. 12. 1962
- [7] B. Drbohlav: Diplomová práce ST - 514/1 - 1966
- [8] Schuler: An investigation into use  
of scale - model try - out press tools  
Sheet metal industries September 1957
- [9] I. Bureš: Diplomová práce - ST - 328 - 1965
- [10] VEB - Werkstoffprüfmaschinen - Leipzig  
Prospekt zkušebního zařízení
- [11] ČSN 42 03 10  
Zkouška tahem
- [12] ČSN 42 03 20  
Zkušební tyče ploché
- [13] ČSN 42 06 06  
Zkouška hloubením (podle Erichsena)
- [14] Vývoj technologie AZNP Mladá Boleslav  
I. Bartůněk - životnost a využití plastických  
hmot v nástrojařské a karosářské  
technologii - Zpráva č. 9 + 09 -  
- 119 - 4 Ml. Boleslav
- [15] Doc. Ing. Vladimír Hašek  
Tváření kovů
- [16] L. A. Šefman  
Elementy teorii chladnej štampovky
- [17] O. Sacha  
Princips and methods of Sheet - Metal  
Fabrications  
část I. kapitola II. - překlad
- [18] Prof. Ing. Dr. J. Kožešník
- [19] V. P. Romanovskij  
Fyzikální podobnost a teorie modelů
- [20] Akademik F. Pišek  
Příručka pro lisování za studené
- [21] V. Pásek  
Nauka o materiálu II. - I.
- [22] Ing. Novotný  
Pokrokové způsoby tváření  
Vybrané statí z tváření za studená

VŠST LIBEREC FAKULTA STROJNÍ	Vliv rychlosti nástroje na rozdělení deformace na vzorku a modelu rotačního hlubokého výtažku.	DP - ST 586/67 30. října 1967 Obst Jaroslav 55.
---------------------------------	---	---

- [23] Doc. Ing. M. Kerínek - Ing. V. Mikeš  
 Zjištování napjatosti a přetvoření na  
 výliscích nepravidelných tváří.  
 Strojírenství 16, 1966, č. 1.
- [24] ČSN 41 13 00  
 Ocel 11 300 (konstrukční k hlubokému  
 tažení)

## 9. Obsah

	list
1. Úvod	1
2. Způsoby ověřování výrobní technologie	3
2.1. Upravy kovového nástroje	3
2.2. Ověřovací nástroj z plastické hmoty	4
2.3. Ověřovací nástroj ve zmenšeném měř.	5
2.4. Modelové zkoušky	5
3. Zákon podobnosti	5
3.1. Definice zákona podobnosti podle Sofmana [16]	6
3.2. Definice zákona podobnosti podle O. Sachse [17]	7
4. Stanovení podmínek pro modelové zkoušky	8
4.1. Určení tvaru a rozměrů modelů a vzorků	8
4.2. Vliv rychlosti na průběh tažení	10
4.2.1. Rychlosť deformace	11
4. 2.1.1. Průběh smluvní deformační rychlosti při tažení kalíšků [7]	12
4.3. Vlastnosti plechu pro vzorek a model	14
5. Ověření lisovatelnosti plechu	15
5.1. Zkouška hloubením (podle Erichsena)	15
5.2. Kalíšková zkouška AEG	15
5.3. Zkouška hlubokotažnosti Tiefziekprüfer TZP	16
5.4. Závěr ověřování lisovatelnosti plechu	18
6. Provozní zkoušky a měření	19
6.1. Popis zkoušebního zařízení	19
6.1.1. Nástroj pro tah skutečného výlisku	19
6.1.2. Modelový městrost pro tah modelového výlisku	20
6.2. Stanovení rozměrů vzorku a modelu	23
6.3. Určení materiálu vzorku a modelu	24
6.3.1. Stručná charakteristika [6]	24
6.3.2. Chemické složení	24
6.3.3. Dranost povrchu	24
6.3.4. Zkouška hloubením (podle Erichsena)	25
6.3.5. Zkouška tahem	25
6.4. Měření deformace vzorku a modelu	27
6.4.1. Zjištování stupně deformace vzorku a modelu pomocí deformačních sítí	27
6.4.2. Deformační síť soustředných kružnic	28
6.4.3. Vlastní provedení deformačních sítí	30
6.5. Průběh lisování	31
6.6. Zjištěné hodnoty deformace vzorku a modelu	31
6.6.1. Grafické znázornění průběhu deformací vzorku a modelu	48
6.6.2. Graficko experimentální stanovení přetvárné rychlosti	48

**VŠST LIBEREC**  
**FAKULTA STROJNÍ**

Vliv rychlosti nástroje  
na rozdělení deformace na  
vzorku a modelu rotačního  
hlubokého výtažku.

**DP - ST 586/67**

**30. května 1967**

**Obst Jaroslav 57**

- list
7. Zhodnocení vlivu rychlosti nástroje  
a přetvárné rychlosti u vzorku a  
modelu rotačního hlubokého výtažku 52
8. Seznam literatury 54
9. Obsah 56
- přílohy: výkres DP - ST 586/67 - 1